

NTNF Prosjekt 0801.3937
Logging av geoparametre i borhull
NGU Rapport 1393/B
Kjemisk analyse av jordprøver fra
Hersjøfeltet, Høssdal, Ålen

Kr. 130,-

NGU Rapport 1393/B

NTNF Prosjekt 0801, 3937

Logging av geoparametre i vann

Kjemisk analyse av jordprøver fra
Hersjøfeltet, Hessdalen, Ålen

Saksbearbeidere: Halfdan Hovdan
Bjørn Bølviken

Norges geologiske undersøkelse

Kjemisk avdeling

Leiv Eirikssons vei 39,
Postboks 3006, 7001 Trondheim

Tlf.: 075/15860

Norges geologiske undersøkelse
Biblioteket

INNHOLD

INNLEDNING	s. 1
METODER	s. 1
Prøvetaking	s. 1
Analysemetoder	s. 1
RESULTATER	s. 2
Noen kommentarer til analyseresultatene	s. 3
I. Frekvensfordelinger	s. 3
II. Diagrammer for hovedprofil	s. 4
III. Kotekart over utgående	s. 5
DISKUSJON	s. 6
KONKLUSJON	s. 7
LITTERATUR	s. 7

INNLEDNING

NTNF prosjektet "Logging av geoparametre i borhull" tar sikte på å utvikle et instrument for måling av selv-potensialer, pH og red-ox potensialer i diamantborhull. Formålet ved slike målinger er å skaffe nærmere kjennskap til de kjemiske prosesser rundt en malmforekomst. Det er i den senere tid lansert ideer om at de elektriske strømmer som følger selv-potensialene bidrar til det geokjemiske fordelingsmønster.

Hersjøfeltet ble ansett som vel egnet for logging av geoparametre i borhull, og innledende målinger i feltet ble utført i 1974 og 1975, se NGU rapportene nr. 1393/A og 1311. Videre borhullsmålinger planlegges sommeren 1976. Man må anta at en klarleggelse av de geokjemiske forhold på bakken vil være en støtte i tolkningen av borhullsdata. Med bakgrunn i dette ble det sommeren 1975 samlet inn jordprøver fra Hersjøfeltet i målepunkter der også SP ble målt. Disse prøver er analysert på en rekke elementer som vi regner med kan ha betydning i elektrokjemiske prosesser. Ledningsevne, pH og væskepotensialer i oppslemmingen av de fuktige jordprøver ble meddelt i NGU rapport nr. 1393/A. Denne rapport gir resultater av analyser på tørkede jordprøver.

Resultatene er kommentert helt summarisk idet vi regner med å komme tilbake til mer utfyllende diskusjon senere.

METODER

Prøvetaking.

Prøvetakingspunktene ble bestemt av SP-målingene. Som utgangspunkt for målingene ble tatt et hovedprofil, 40 Y (fig. 49) med målinger hver 25 meter og et område omkring malmens utgående på 100 x 85 m der målingene ble foretatt med noe tettere frekvens (fig. 48).

Jordprøvene ble tatt fra C-horisonten der dette var mulig. Ellers ble prøvene tatt så dypt som mulig. Ved SP-målingene ble elektroder plassert nøyaktig der hvor jordprøven var tatt.

Analysemетодer.

Jordprøvene ble delt i to. Den ene delen ble analysert i fuktig tilstand og resultatene av dette er gitt i NGU Rapport 1393/A. Den andre delen ble tørket og siktet (180μ). pH og ledningsevnen ble målt i en oppslemming med destillert vann (forhold prøve/vann : 1/2.5).

Målingene ble utført med en Radiometer Conductivity Meter, Type CDM2e og en Radiometer PH62 Standard pH Meter samt elektrodene Radiometer CDC 104 og GK2301C.

Grunnstoffanalysen ble utført ved atomabsorpsjon på den salpetersyre-løselige delen av prøvene. Følgende elementer ble bestemt kvantitativt:

bly	magnesium
jern	mangan
kadmium	natrium
kalsium	nikkel
kobber	sink
kobolt	sølv
litium	vanadium

RESULTATER

Resultatene er vist på figurene 1393/B - 01 til 1393/B - 47 i tre ulike fremstillinger:

1. Figurene 1393/B - 01 til 1393/B - 21.

Alle analyseresultater er fremstilt som kumulative frekvensfordelinger. Det er laget to kurver for hvert element. Kurve A viser resultatene for hovedprofilet, 40 Y, (se fig. 49) og kurve B resultatene fra den detaljerte prøvetaking over utgående (se fig. 48).

2. Figurene 1393/B - 22 til 1393/B - 30.

Analyseresultatene langs hovedprofilet fremgår av diagrammer med prøvelokaliten som abcisse og analyseresultat som ordinat.

3. Figurene 1393/B - 31 til 1393/B - 47.

Resultatene over utgående er angitt som isokonsentrationslinjer på kart.

Noen kommentarer til analyseresultatene.

I. Frekvensfordelinger.

1. Følgende elementer har høyere innhold over utgående enn langs hovedprofilet (frekvensfordeling B ligger tydelig til høyre for frekvensfordeling A). (Figurnummer er angitt i parentes bak elementsymbol):

Pb (01)
Fe (02)
Cu (06)
Zn (13)
Ag (14)
pH (18) (tørkede prøver)

2. Følgende elementer har lavere innhold over utgående enn langs hovedprofilet (frekvensfordeling B ligger tydelig til venstre for frekvensfordeling A). (Figurnummer er angitt i parentes bak elementsymbol):

K (04)
Ca (05)
Co (07)
Li (08)
Mg (09)
Mn (10)
Ni (12)
V (15)
pH (18) (i fuktige prøver)
Ledningsevne (19)

3. Følgende elementer viser liten forskjell mellom hovedprofil og utgående (figurnummer er angitt i parentes bak elementsymbol):

Cd (03)
Na (11)
Ledningsevne i fuktige jordprøver (16)

4. Væskepotensialer viser forskjell mellom prøvene langs hovedprofilet og prøvene over utgående, de siste har dog noe lavere væskepotensial enn de første.
5. Selvpotensialer viser markert lavere verdier over utgående enn langs hovedprofilet.
6. Følgende parametre viser bi- eller poly-modale fordelinger:

Pb (01) (hovedprofil og utgående)
 Fe (02) (ditto)
 Cu (06) (hovedprofil)
 Zn (13) ("")
 Ag (14) (hovedprofil og utgående)
 Ledningsevne i fuktige jordprøver (hovedprofil)
 pH i fuktige jordprøver (hovedprofil)
 Ledningsevne, tørkede jordprøver (hovedprofil)

7. Følgende parametre viser normalfordelinger snarere enn lognormale fordelinger:

K (04) (hovedprofil og utgående)
 Ca (05) ("")
 Li (08) ("")
 Mg (09) ("")
 SP (20) (utgående)
 Væskepotensial (21) (hovedprofil og utgående)
 fuktige jordprøver

II. Diagrammer for hovedprofil.

8. Følgende elementer viser klare anomalier med høye verdier like over malmens utgående eller ligg:

Cu (22)
 Zn (22)
 Fe (23)
 Ag (28)
 Pb (29)

9. Følgende elementer har mer eller mindre tilfeldig variasjon langs profilet: Mn (22), Na (26), Cd (28) og V (29).
10. Følgende elementer viser synkende tendens inn mot utgående med minimumsverdier over malmens utgående eller ligg: Li (24), Mg (25), K (26), Ni (27) og Co (27).
11. De elementer som viser synkende tendens inn mot malmens utgående har lokale maksima i sidebergarten nær malmens utgående. Maksimaene er tydeligst i hengbergarten. Dette gjelder særlig Li (24), Mg (25) og K (26), i noen grad også Ni (27) og Co (27).
12. pH og ledningsevne i oppslemminger av jordprøver viser vanligvis klar negativ korrelasjon, men denne ser ut til å brytes over utgående.

III. Kotekart over utgående.

13. Pb (31) og Ag (44) har en markert sone med maksimumsverdier som stort sett følger malmens utgående.
14. Følgende elementer viser en sone med maksimumsverdier som mer eller mindre følger malmens ligg, Fe (32), Cu (37) og Zn (43).
15. Disse elementer har soner med minimumsverdier langs malmens ligg og mer eller mindre tydelige maksimumsverdier på hver side av minimum: K (34), Ca (35), Co (36), Li (38), Mg (39), Mn (40) og Ni (42).
16. Cd (33), Na (41) og V (45) viser nokså tilfeldig geografisk fordeling.
17. Mønstrene for ledningsevne (46) og pH (47) ser ut til å ha en viss sammenheng med utgående men er dels fordelt langs den symetriske linjen som utgjøres av malmaksen.

DISKUSJON

Vi er ikke på dette tidspunkt i stand til å gi en fornuftig forklaring på alle resultatene.

Sommeren 1976 er det i Hersjøfeltet planlagt å utføre visse kompletterende prøvetakninger av jord. Videre skal vi gjøre målinger av SP, pH og Eh i borhull. Vi håper å komme til en bedre forståelse etter at resultatene av de nye målingene foreligger.

Nedenfor følger noen foreløpige bemerkninger.

1. Fordelingen av Cu, Zn, Ag og Pb følger velkjente mønstre. Disse metaller er sannsynligvis blitt frigjort ved oksydasjon av malmer, og avsatt i humusholdig materiale eller sammen med utfellinger av jernoksyder.
2. Alkalier (Li og K) og jordalkalier (Mg og Ca) følger uvanlige mønstre, hittil lite beskrevet i litteraturen. Bølviken & Logn (1975) og Govett (1976, i trykk) angir data som minner noe om resultatene fra Hersjøfeltet. Det må ikke utelukkes at enkelte trekk ved resultatene skyldes elektrokjemiske dispersjonsmekanismer. For eksempel kan de lokale maksima på hver side av utgående tolkes som en følge av relativt store strømtettheter i dette området (se Bølviken & Logn, fig. 7) eller som opphopning av ladningsbærere på grunn av forskjeller i ledningsevne og ledningsmåte mellom malm (god elektronleder) og sidebergart, løsdekke (dårlig ioneleder). Det er vanskeligere å forklare den generelt avtagende konsentrasjon inn mot utgående. Elektrokjemiske mekanismer skulle tilsi en generell økning av elementer som Li og K mot malmens utgående som kan betraktes som katode i en galvanisk celle.
3. Ledningsevne og pH i jordprøver oppviser mønstre som har et slags knutepunkt i malmaksens skjæringspunkt med utgående. Det er fristende å tolke dette som resultatet av elektrokjemiske prosesser. Siden elektroden i det glavaniske element (malmen) har tre dimensjoner, må potensialer og strøm og dermed ledningsbærere fordele seg noenlunde symmetrisk langs malmaksen. En slik symetri vil ikke uten videre kunne sees av selvpotensialene fordi disse er en blanding av ionisk strøm, potensial og elektronisk strøm potensial (Logn & Bølviken 1974, side 19).

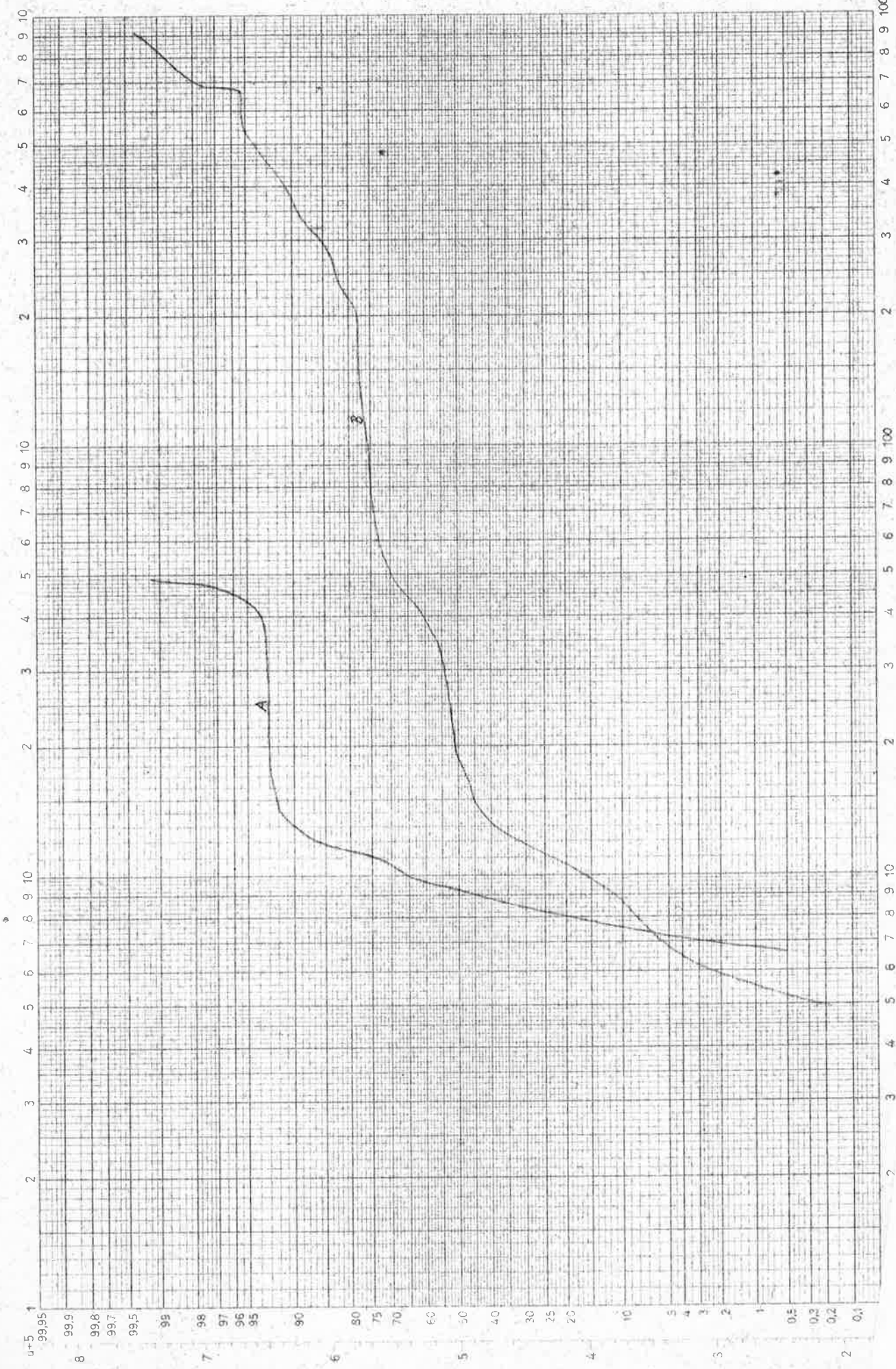
KONKLUSJON

Måleresultatene fra Hersjøfeltet viser en rekke interessante trekk . For å få en nærmere forståelse av lovmessigheter i elementfordelingen bør undersøkelsen følges opp med:

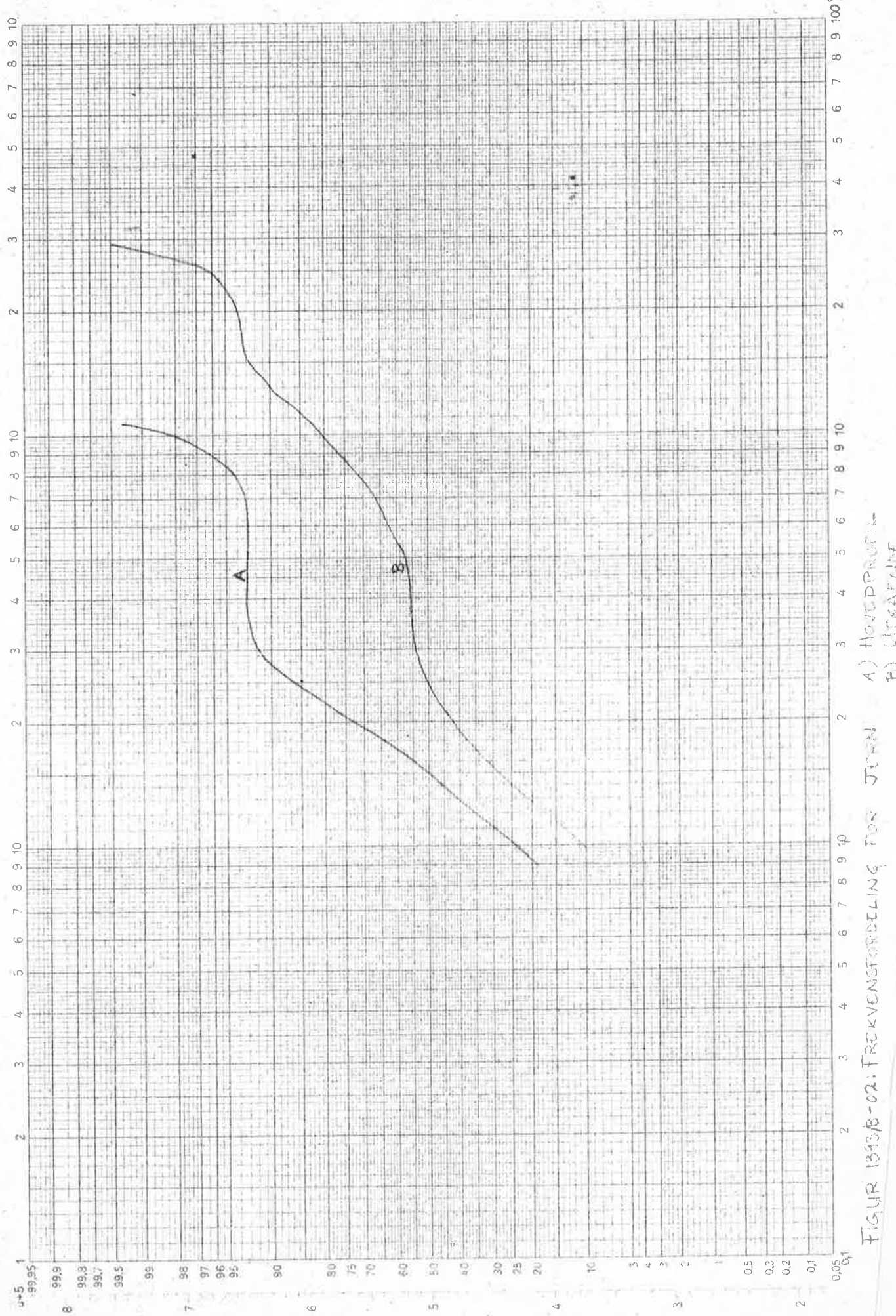
1. Kompleterende prøvetaking av jordprøver over A-forekomsten.
2. Måling av SP, pH og Eh i borhull gjennom A-forekomsten.
3. Tilsvarende undersøkelser ved andre forekomster i Hersjøfeltet eller andre felter. Spesielt vil det være av interesse å måle B-forekomsten, siden den forvitrer lite. De hittil oppnådde resultatene bør publiseres.

LITTERATUR

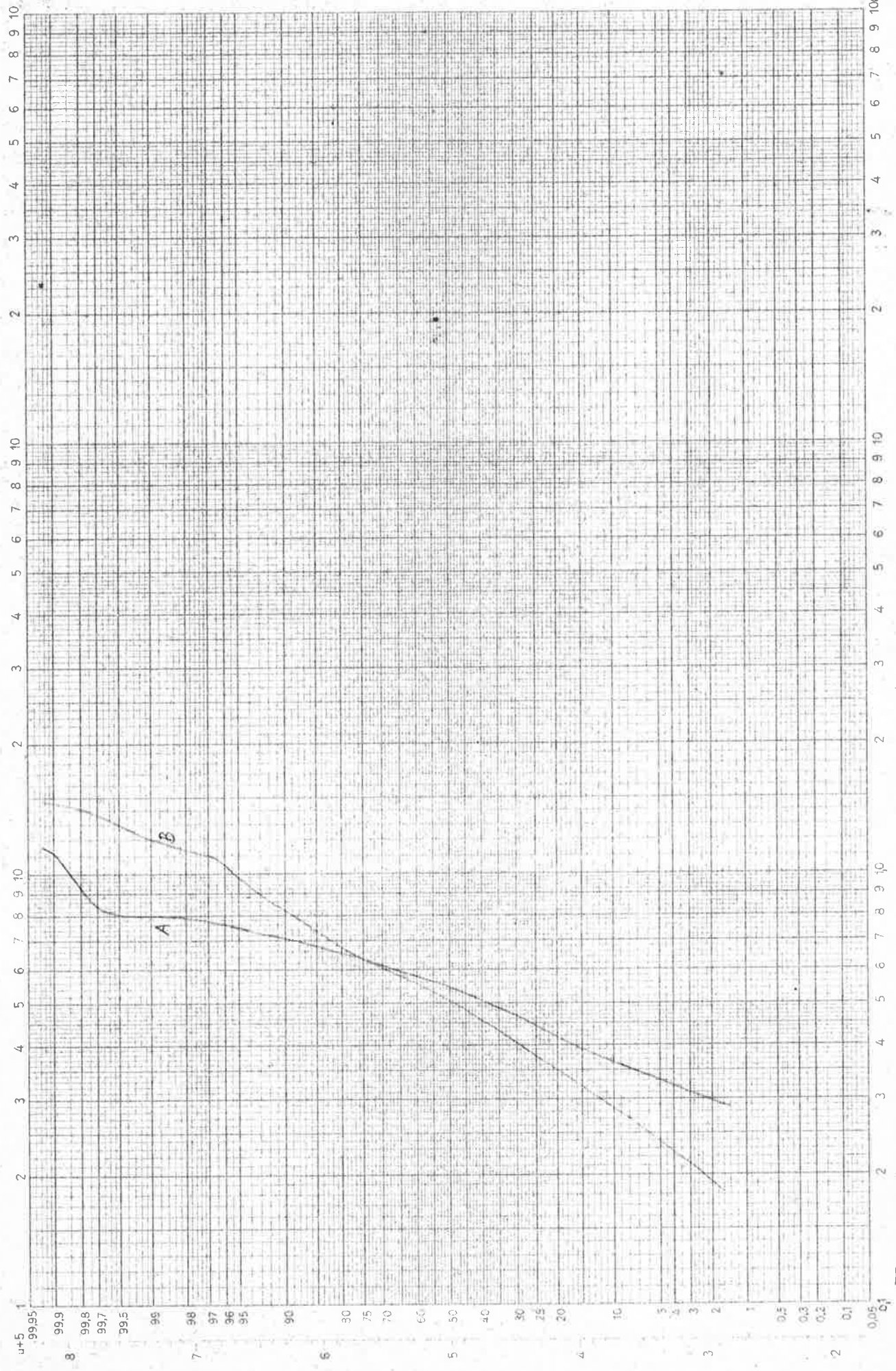
- Bølviken, B. & Logn, Ø. 1975. An electrochemical model for element distribution around sulphide bodies. I: Elliott, I. L. & Fletcher, W. K. (red.) Geochemical Exploration 1974 (Elsevier, Amsterdam), side 631 - 648.
- Govett, G. J. S. 1976. Detection of deeply-buried and blind sulphide deposits by measurement of H^+ and conductivity of closely-spaced soil samples. Journ. Geochem. Exploration . Under trykking.
- Logn, Ø. and Bølviken, B. 1974. Self potentials at the Joma pyrite deposit, Norway. Geoexploration 12, s. 11 - 28.



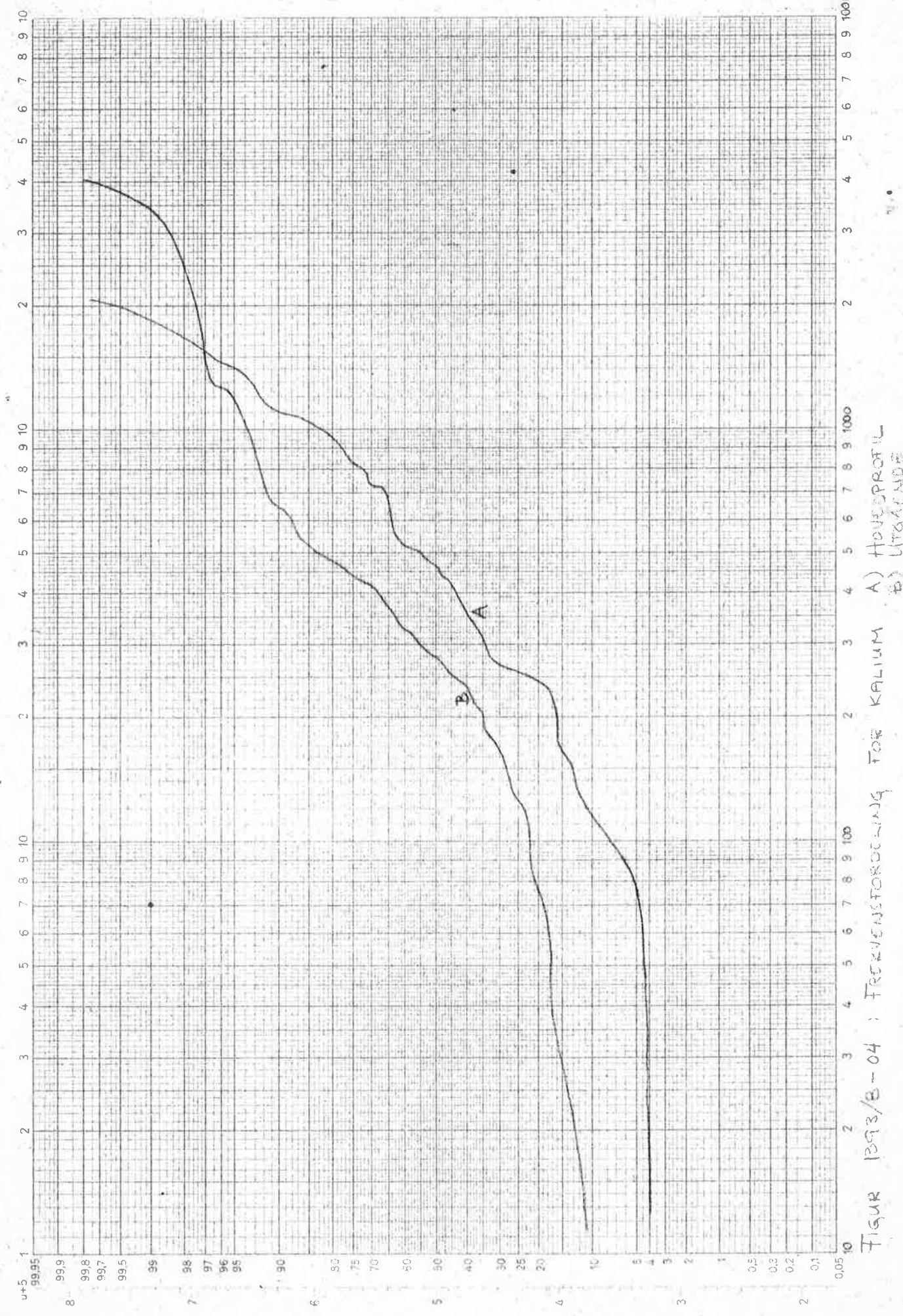
A) HOVEDDOSVÆR
B) UTGÅENDE

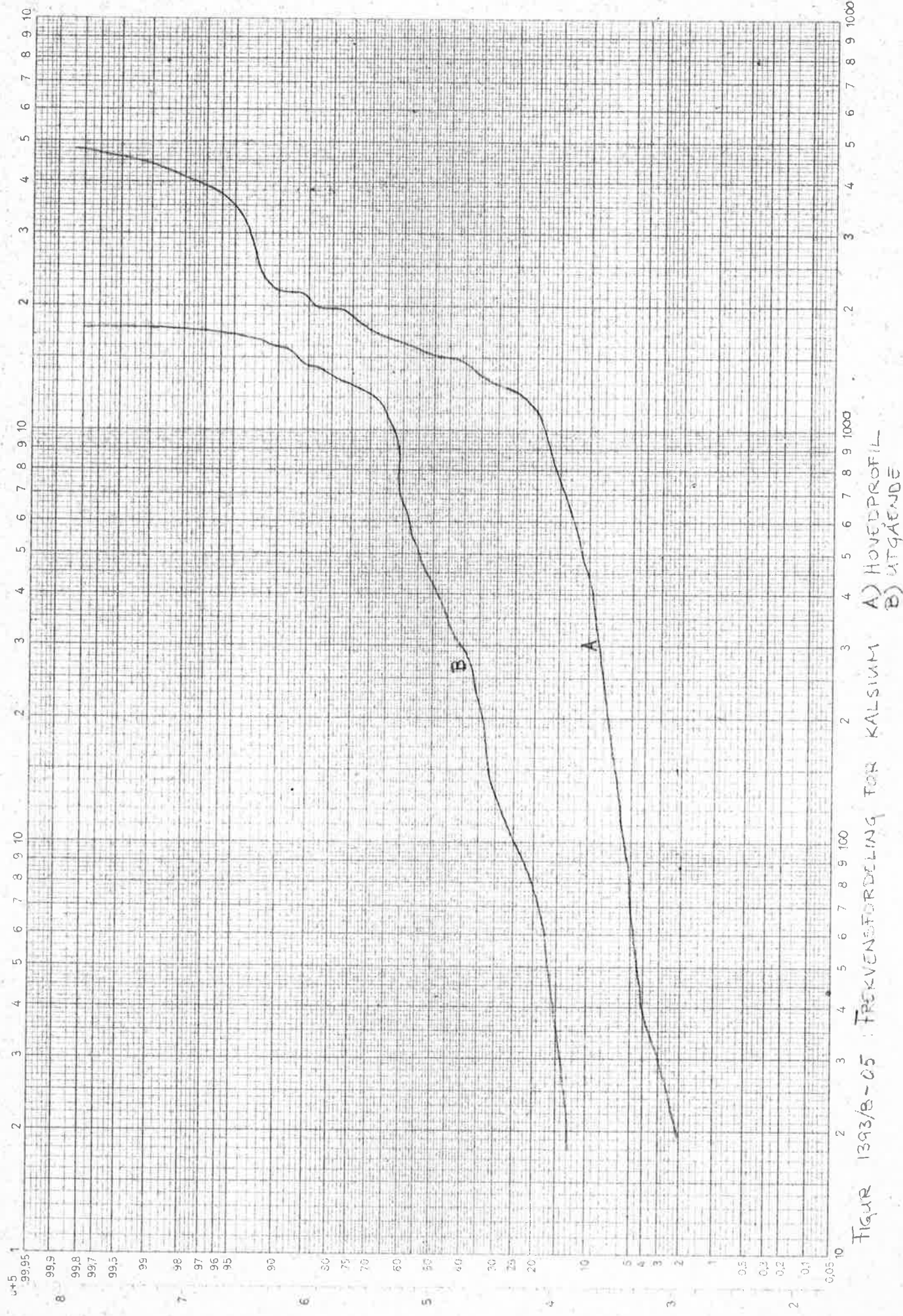


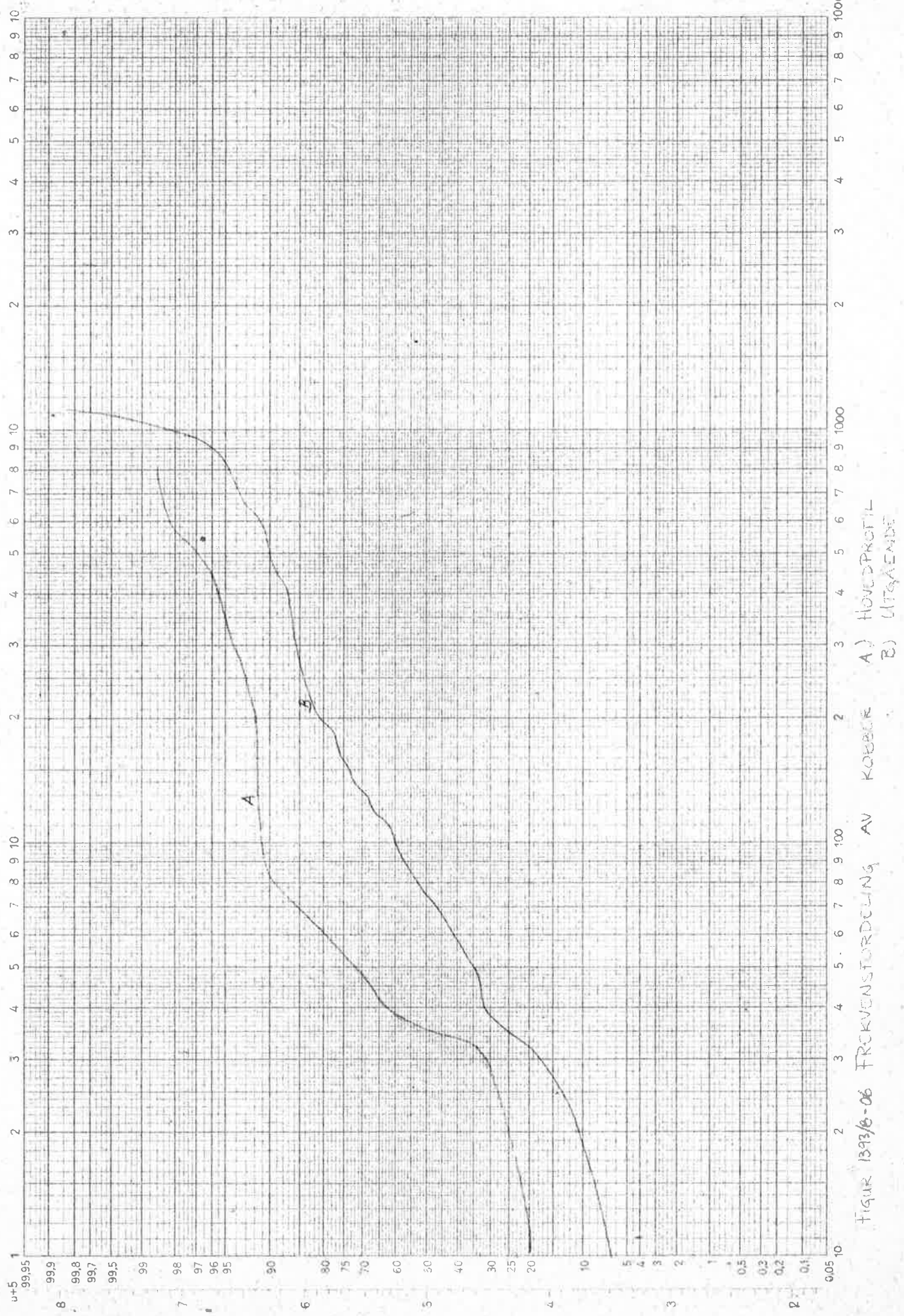
FIGUR 1393/B-02: FREKVENTSTØDLING TIL JVN
A) THYDPRÆTTE
B) URGÆRDE

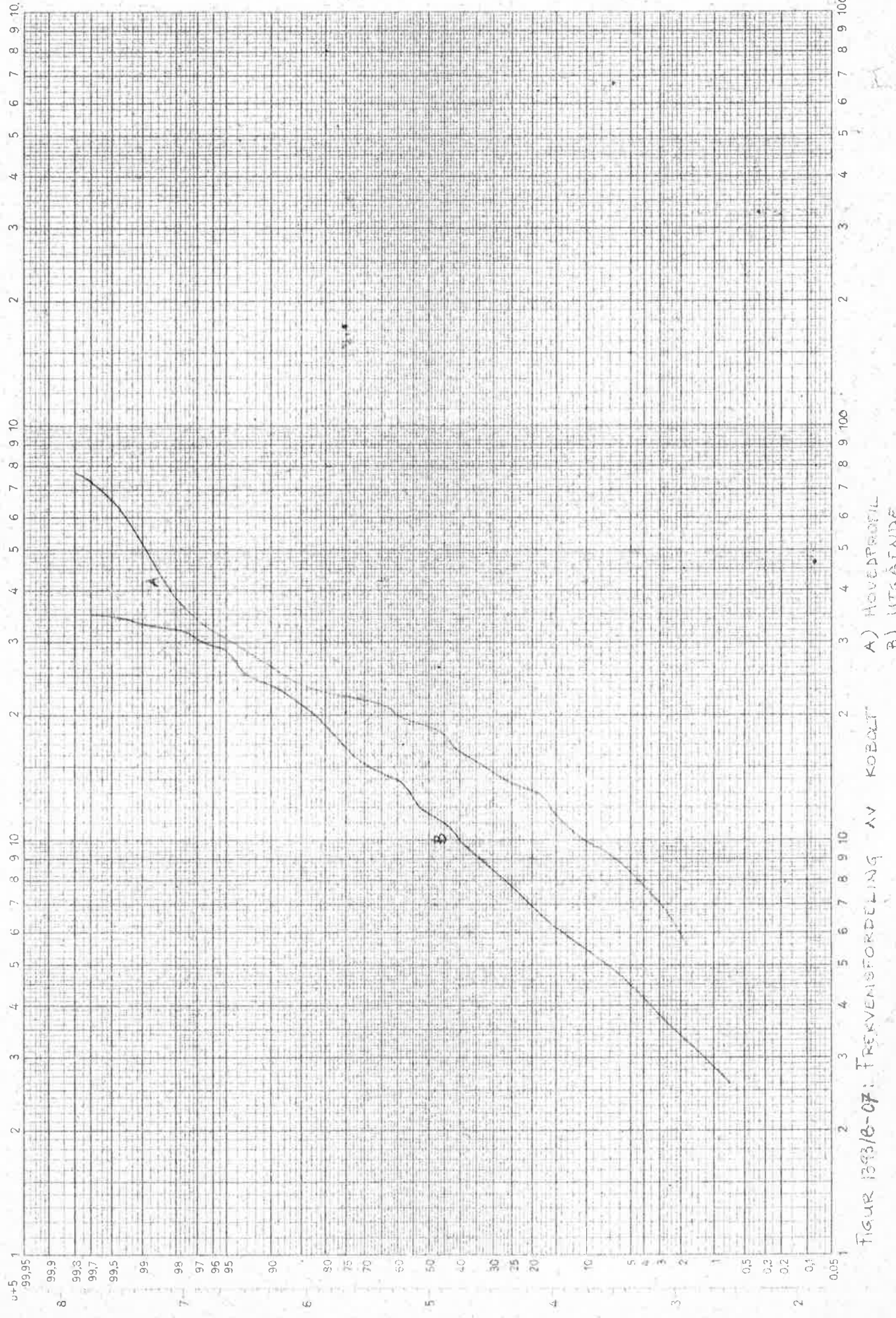


FIGUR 139/8-03: TEEKNENSFORDELING TIL KADMIUM
A) HØVDPROFIL
B) UTSÆNDE









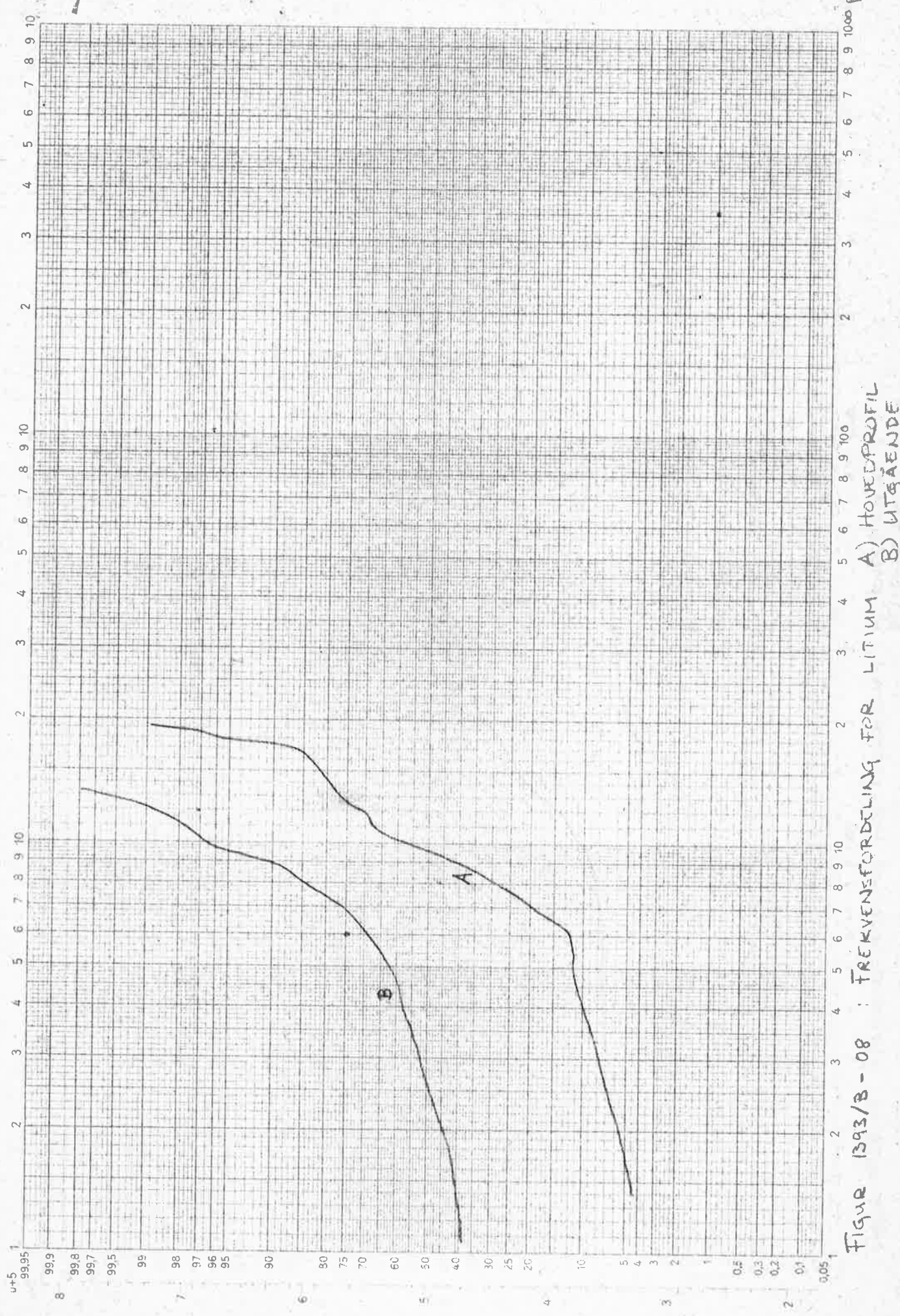
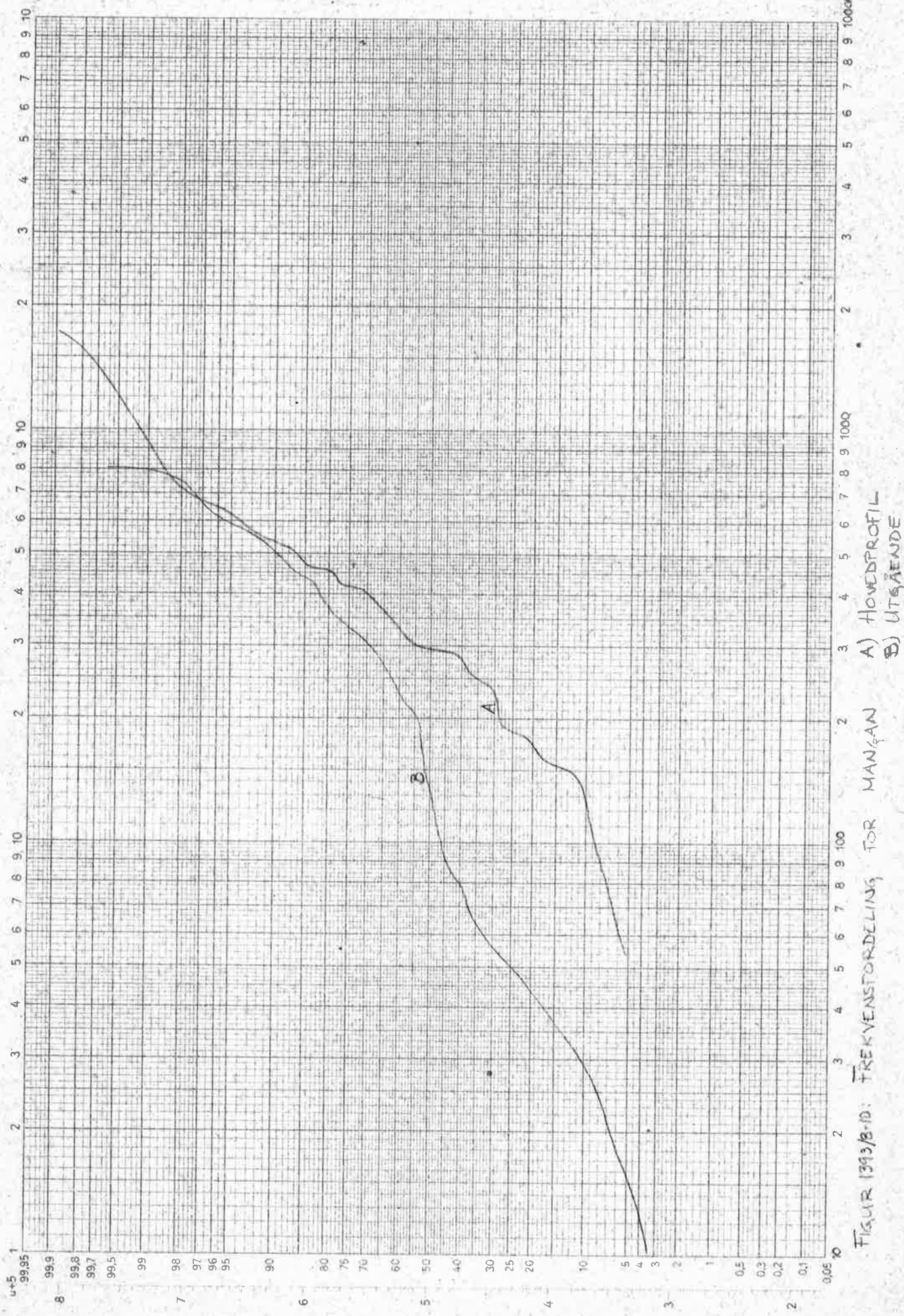
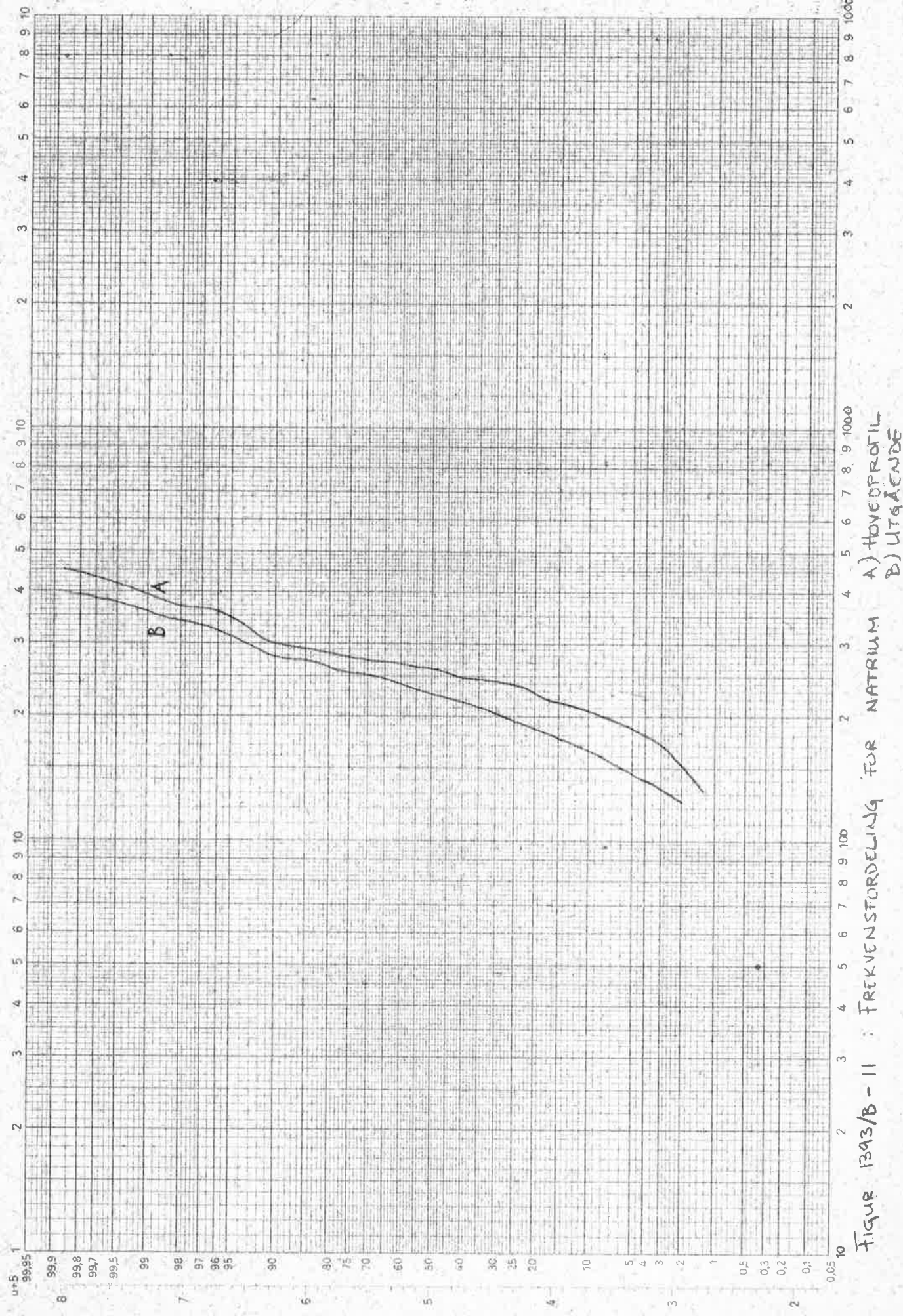
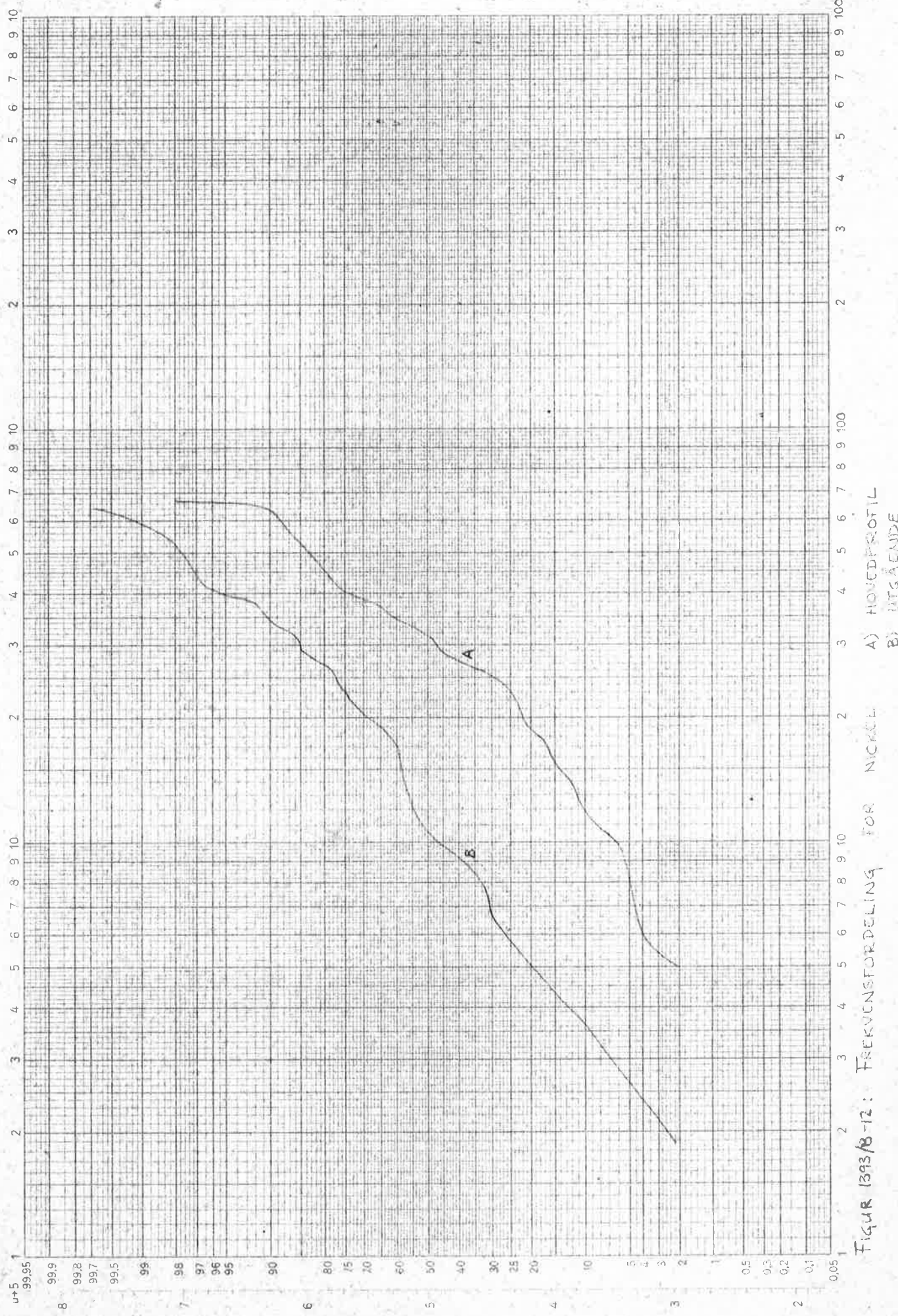


FIGURE 1393/8-08 : FREKVENSEFORDELING FOR LITIUM
A) HØYELPROFIL
B) UTMÅENDE







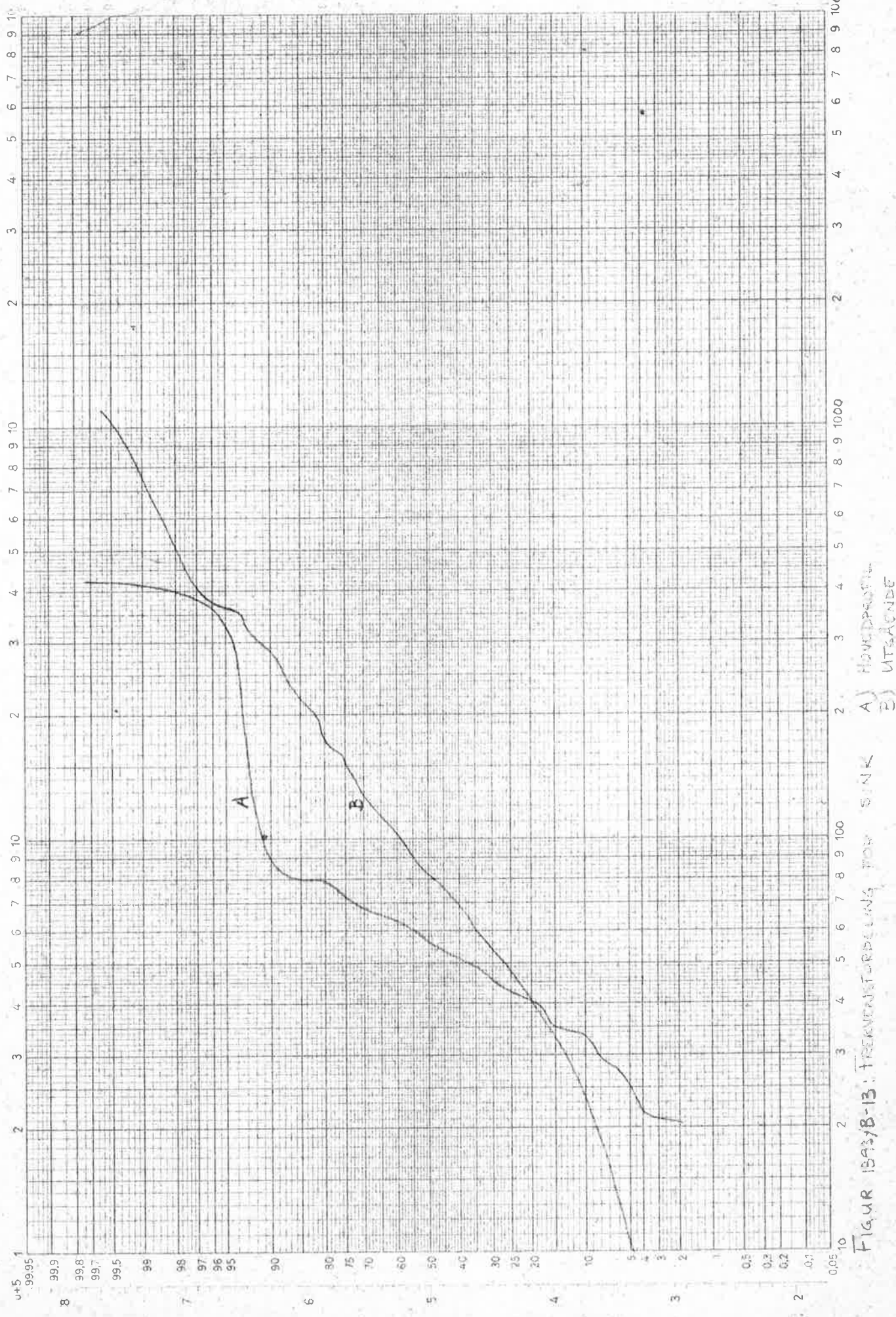


FIGURE 13A AND B-13: INFRARED SPECTRUM OF SODIUM SALT
A) HOOC-CH₂-CH₂-COOH
B) UTAACIDE

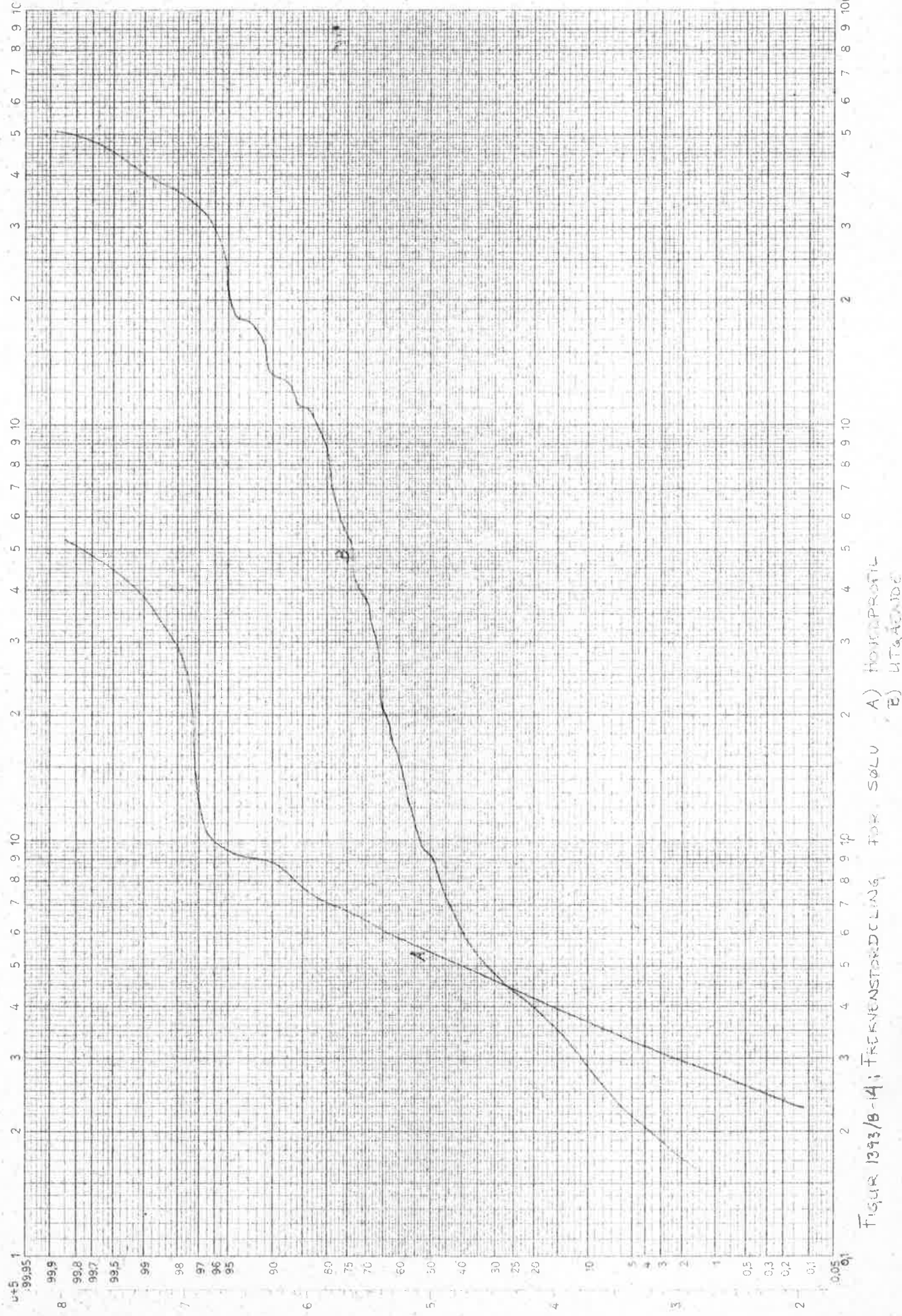
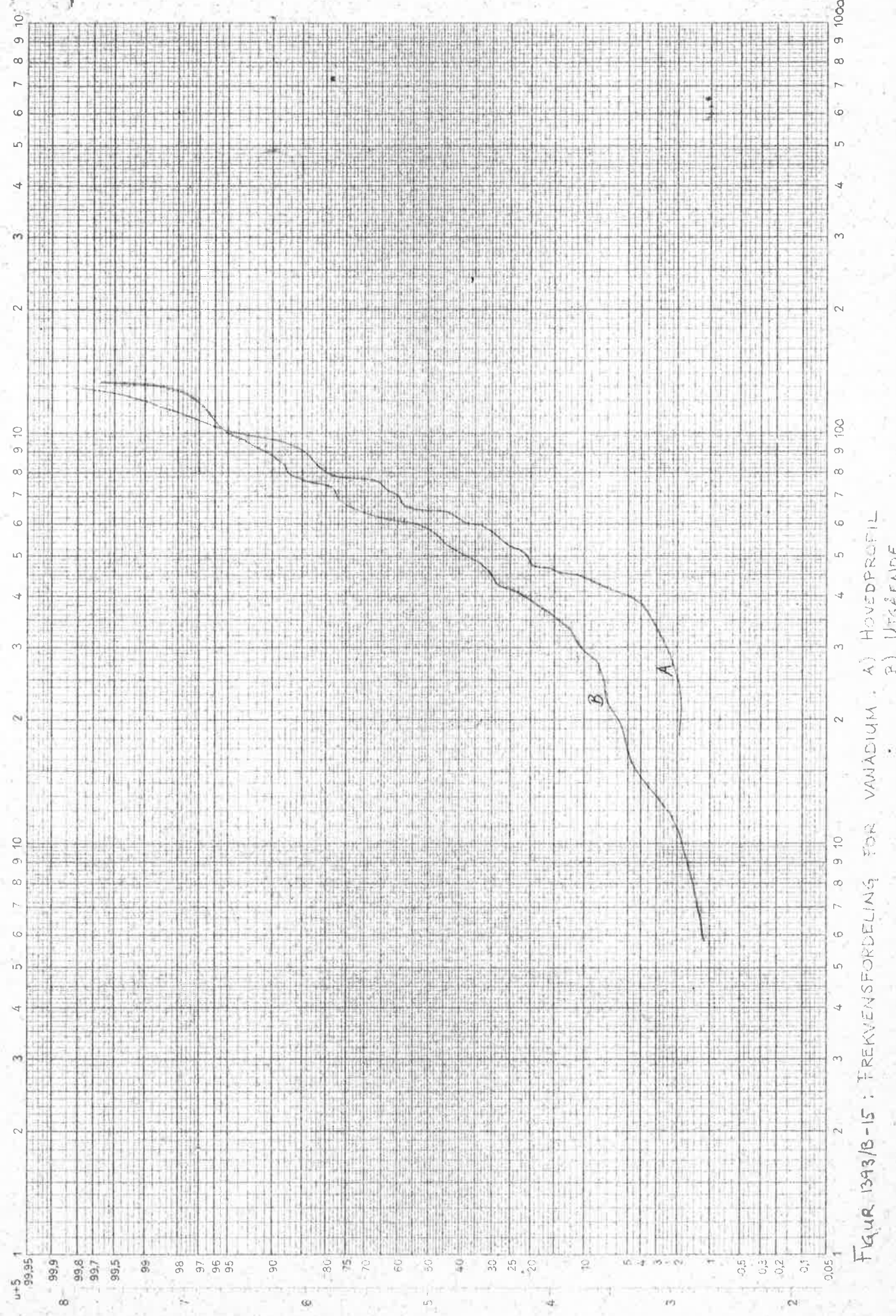
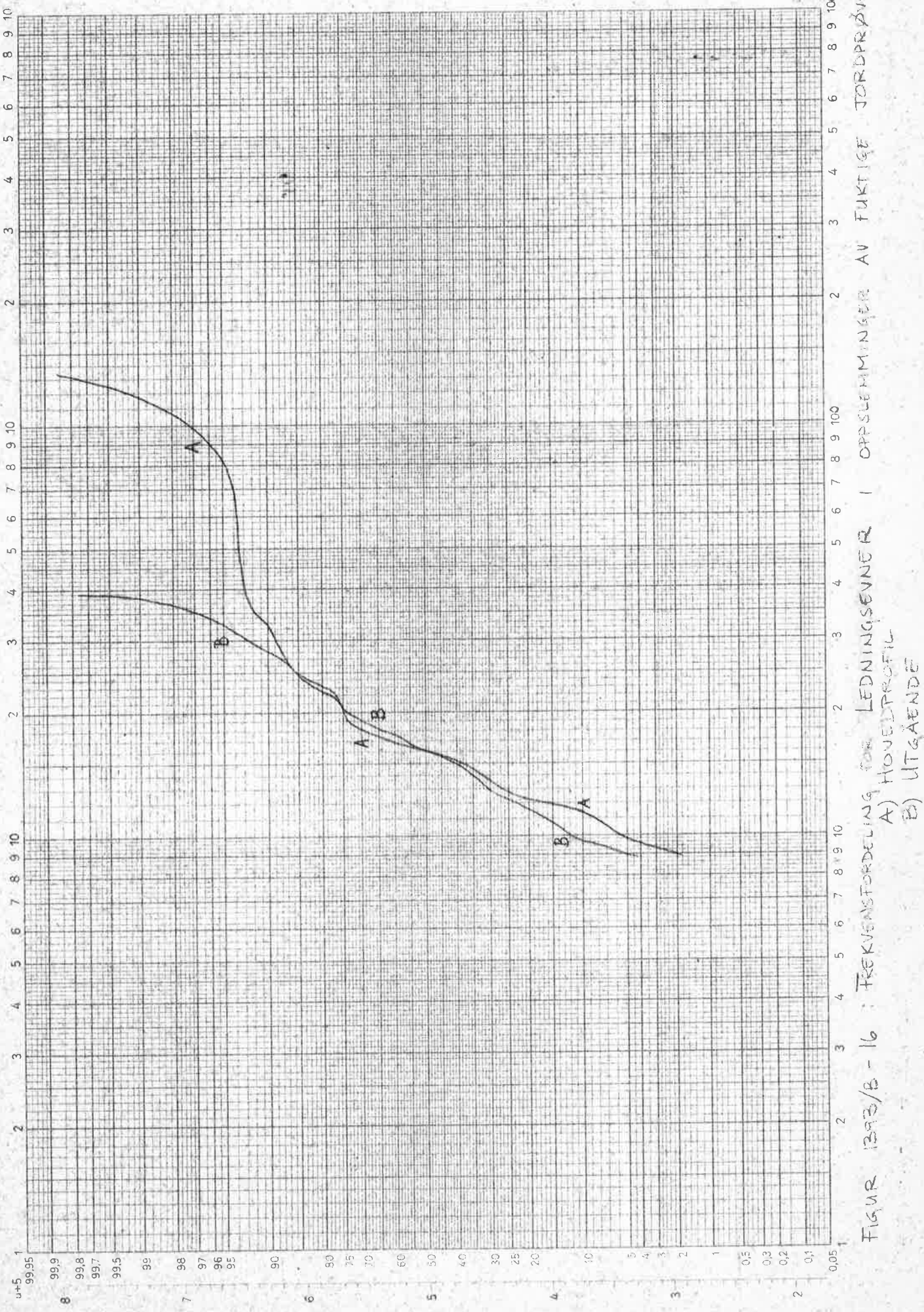
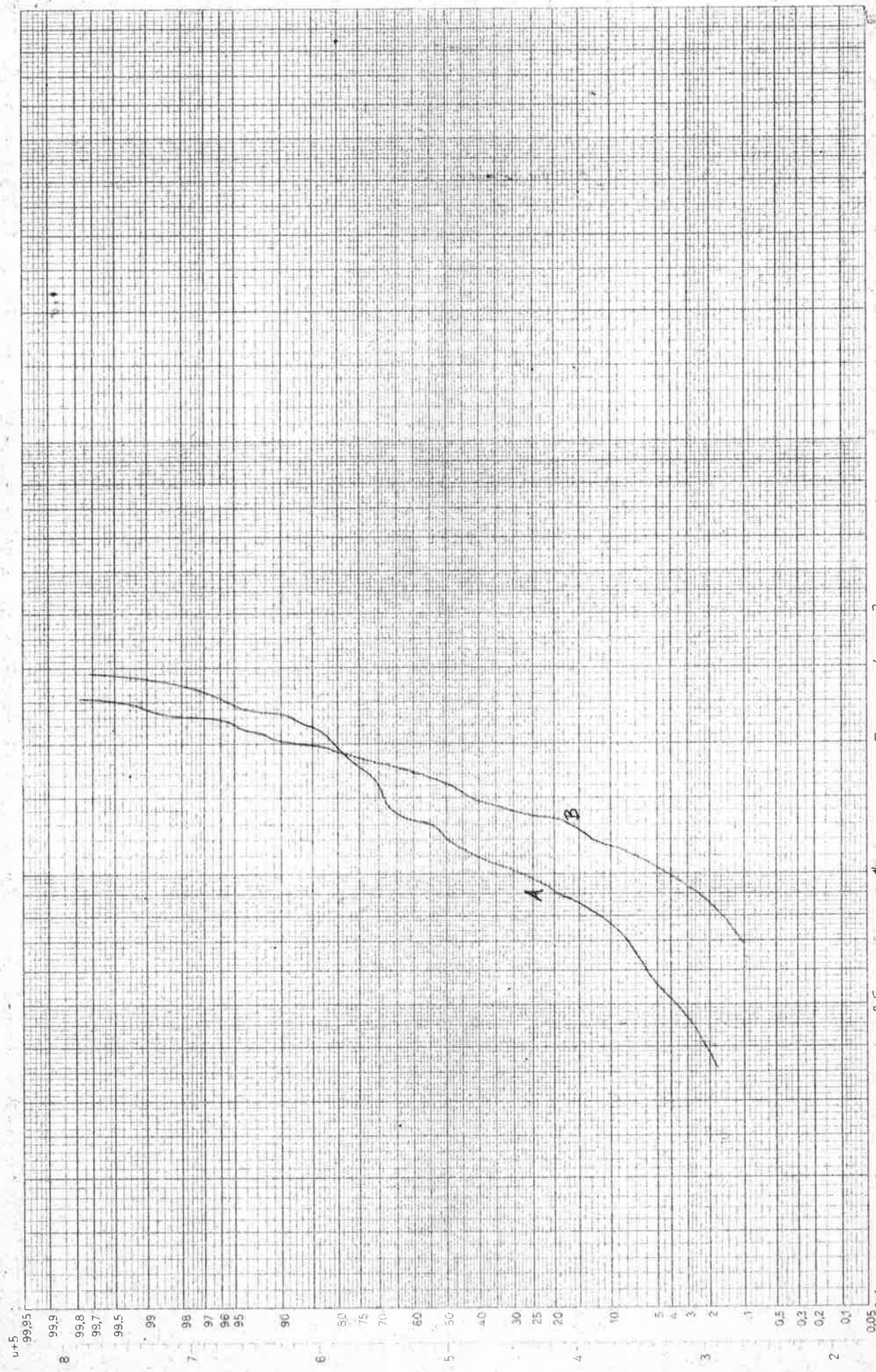


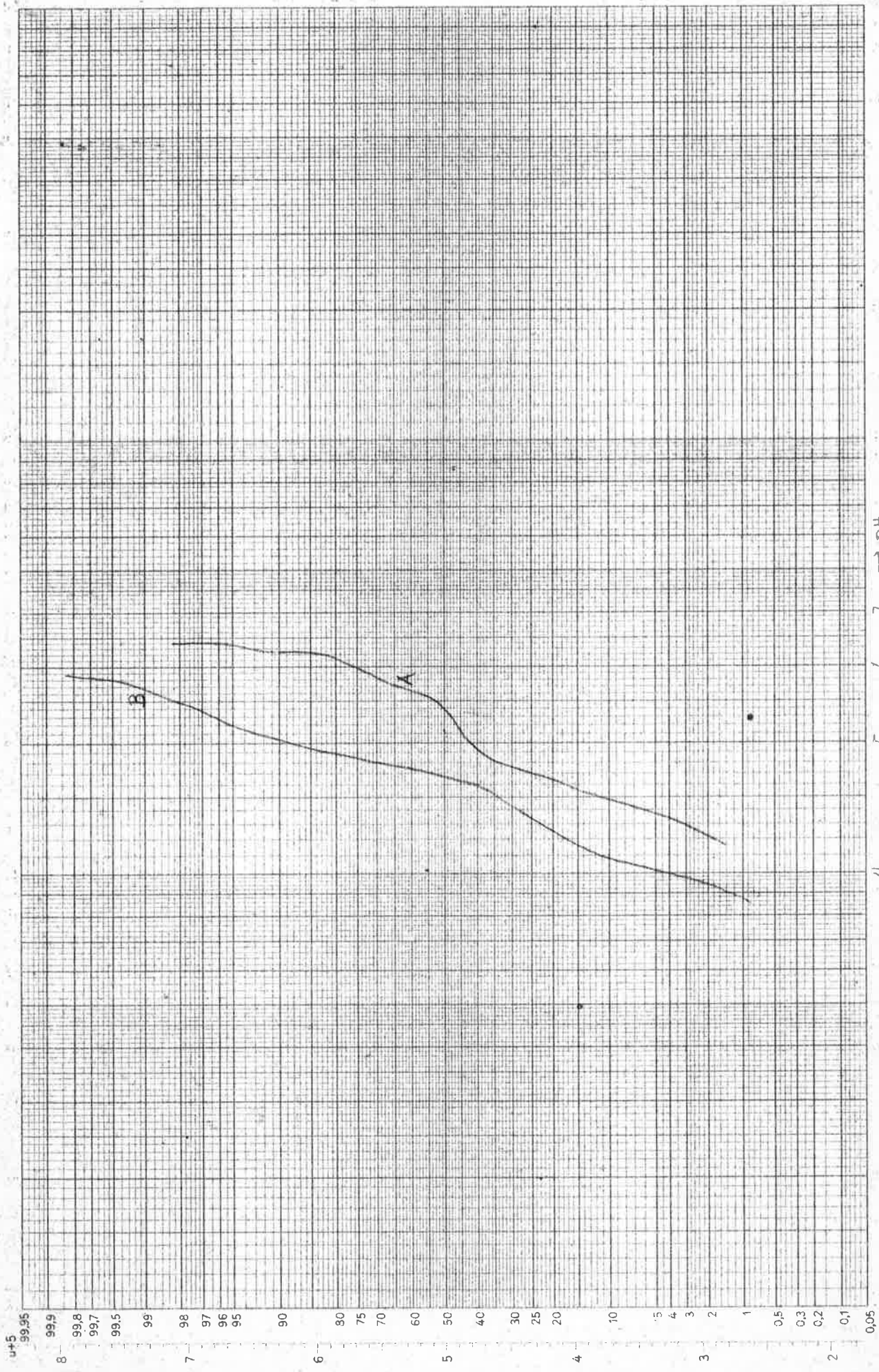
Figure 1393/B-14; Freq vs. Standard for Solv



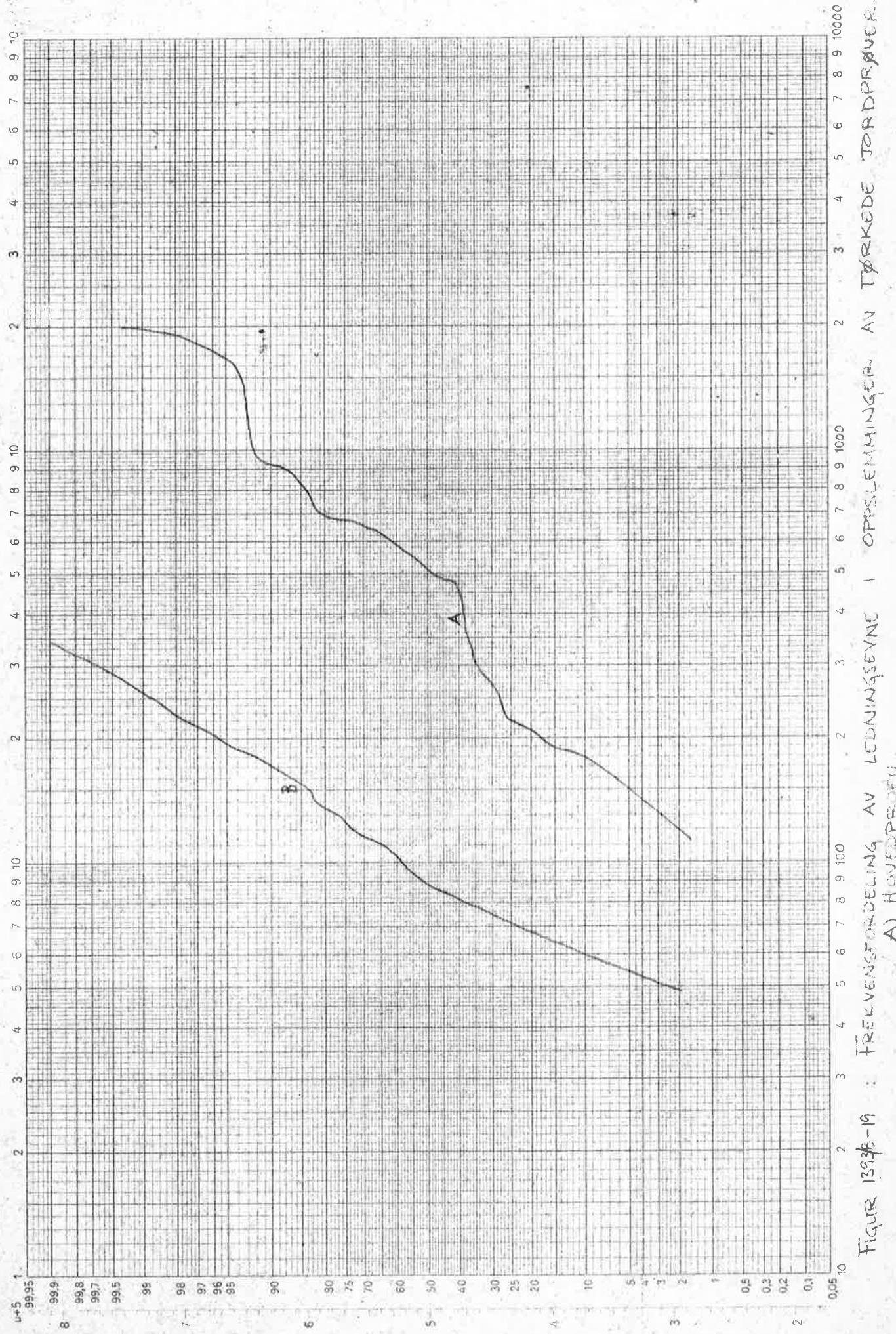
FIGUR 1393/B-15 : FREKVENSFORDELING FÖR VANADIUM. A) HOVEDPROFIL
B) UTGÅENDE





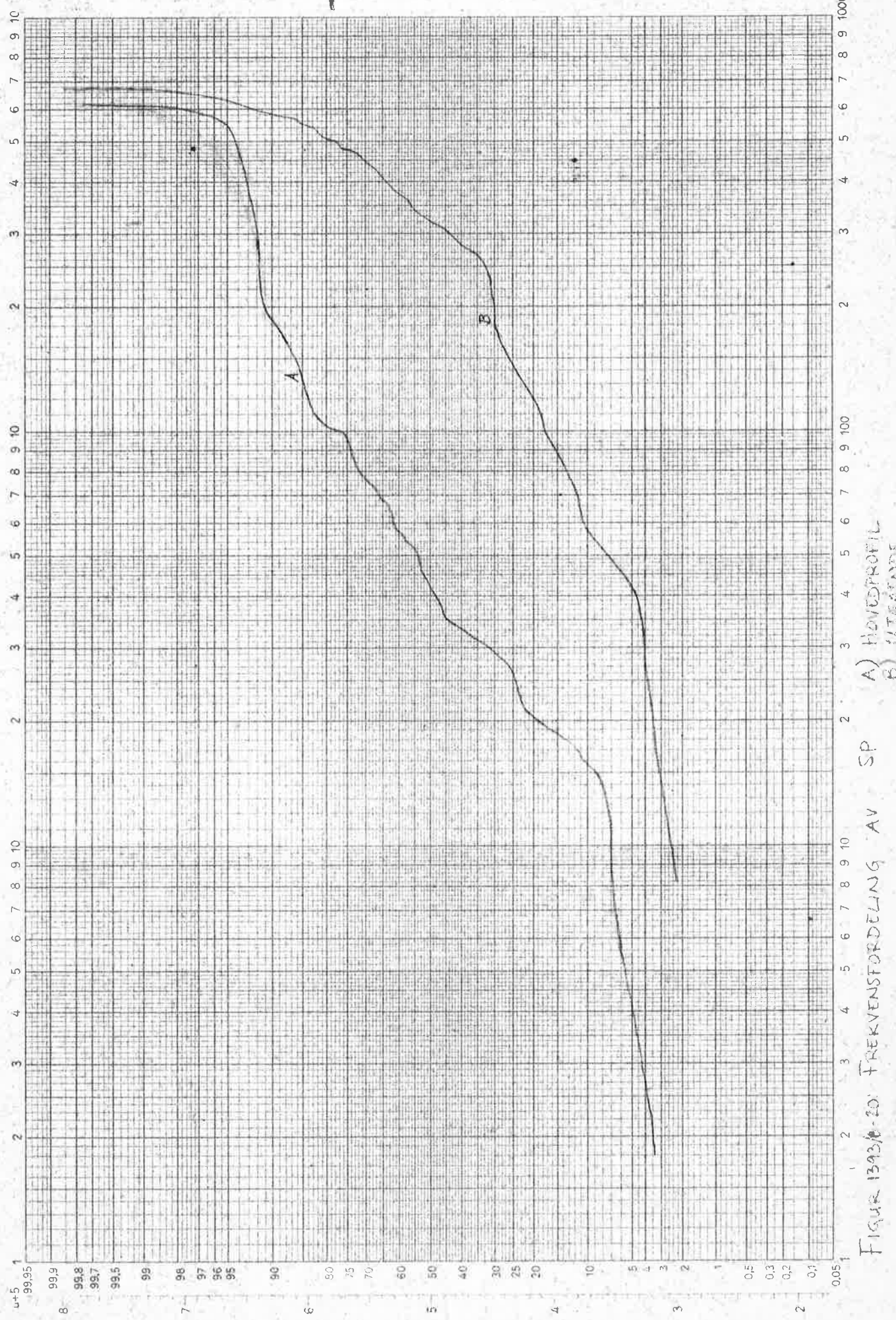


FIGUR 13.13/B-18 : FREKVENEFORDELING AV PH I OPPSLÉKNINGER AV TILSTÅDE JORDDRØNER.
A) HØYDPROSTIL
B) ULTÅENDE

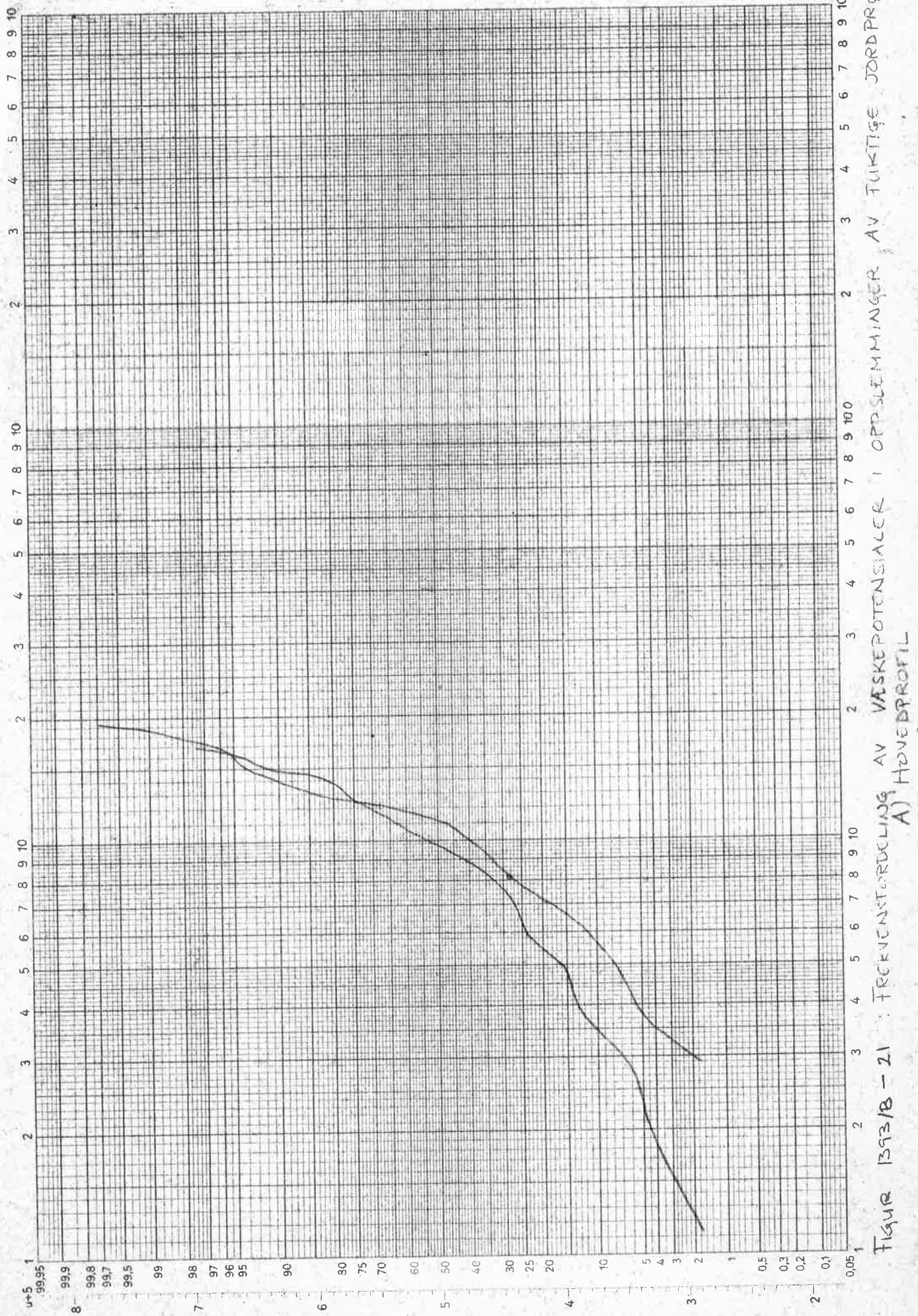


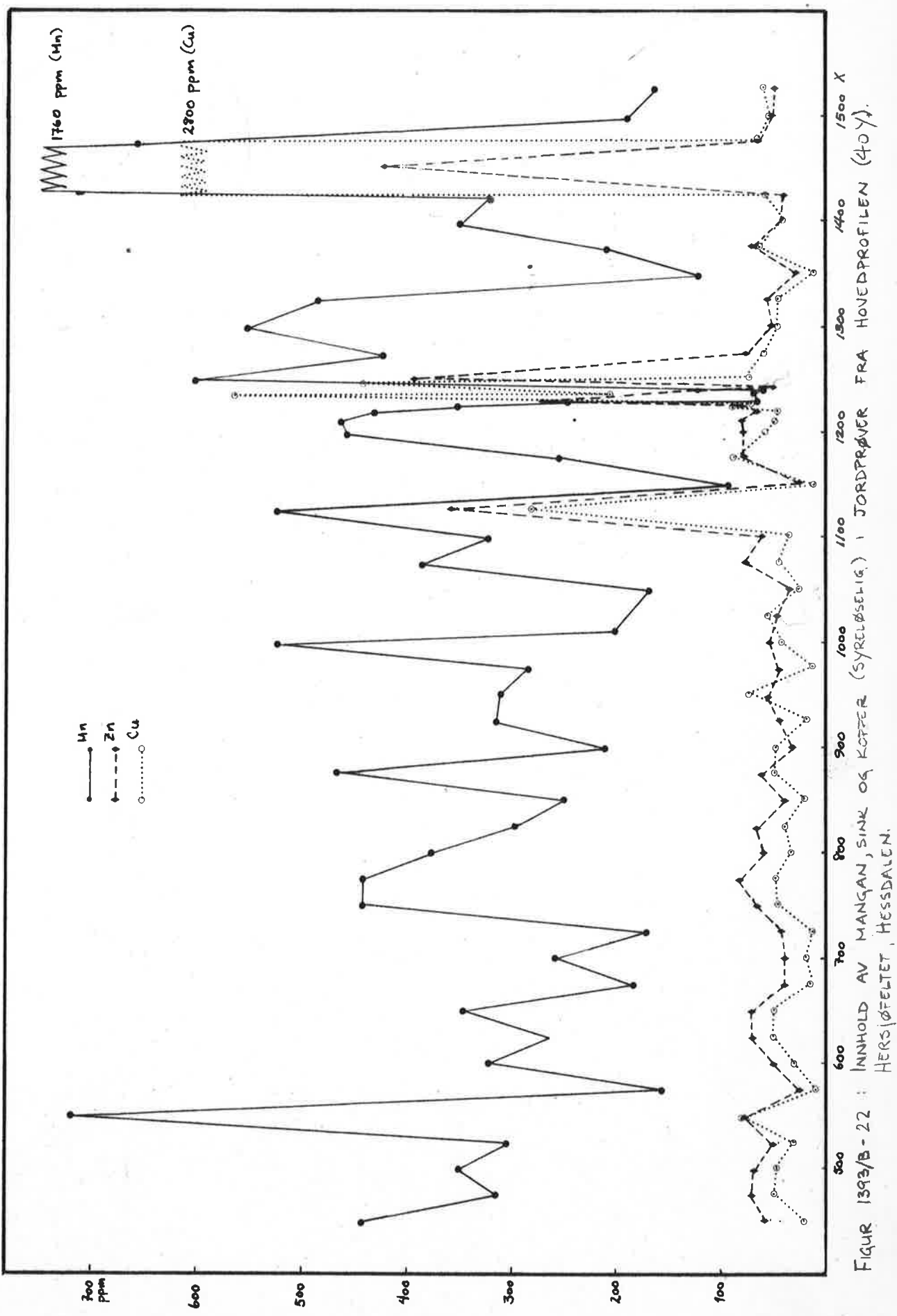
FIGUR 13926-19:

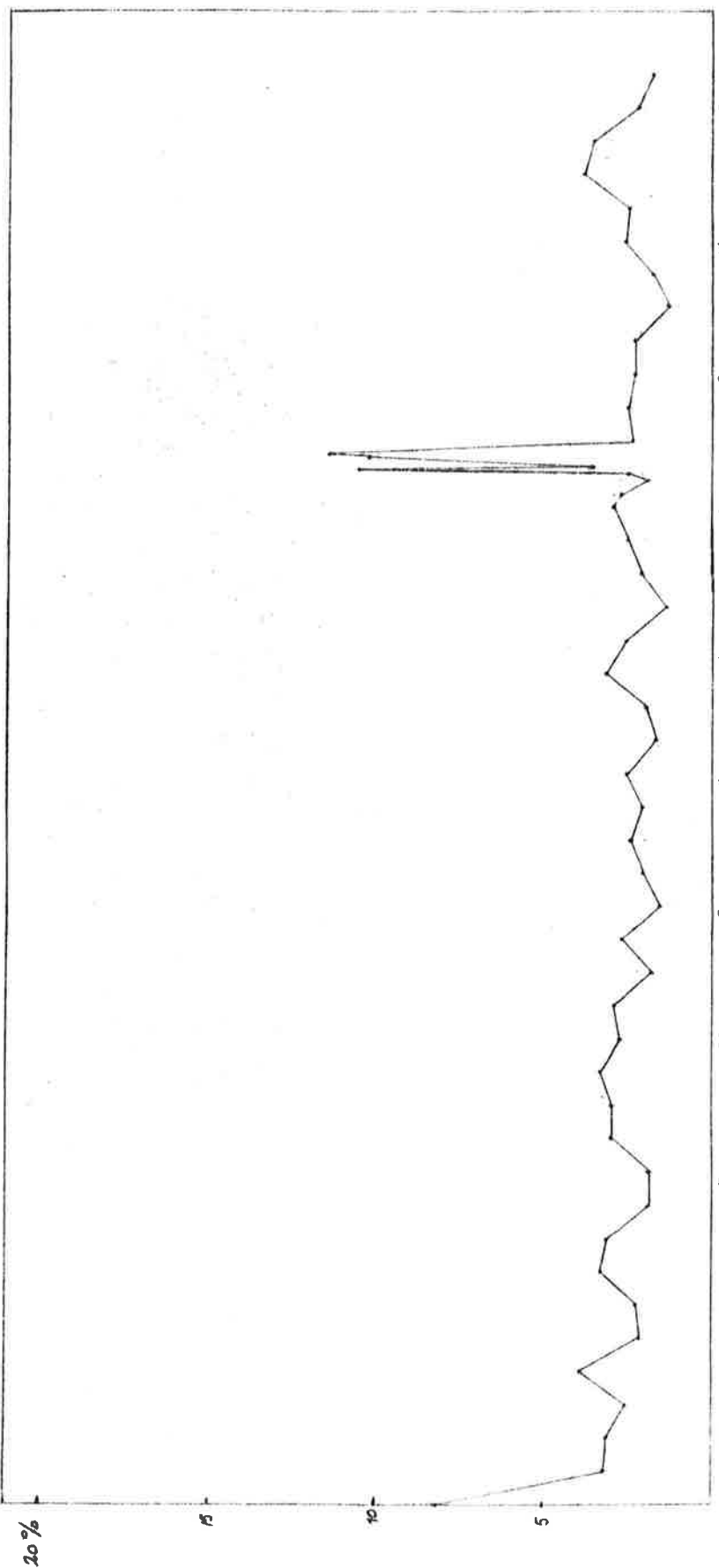
A) HØYTOPPFYLT
B) UTEGÅENDE



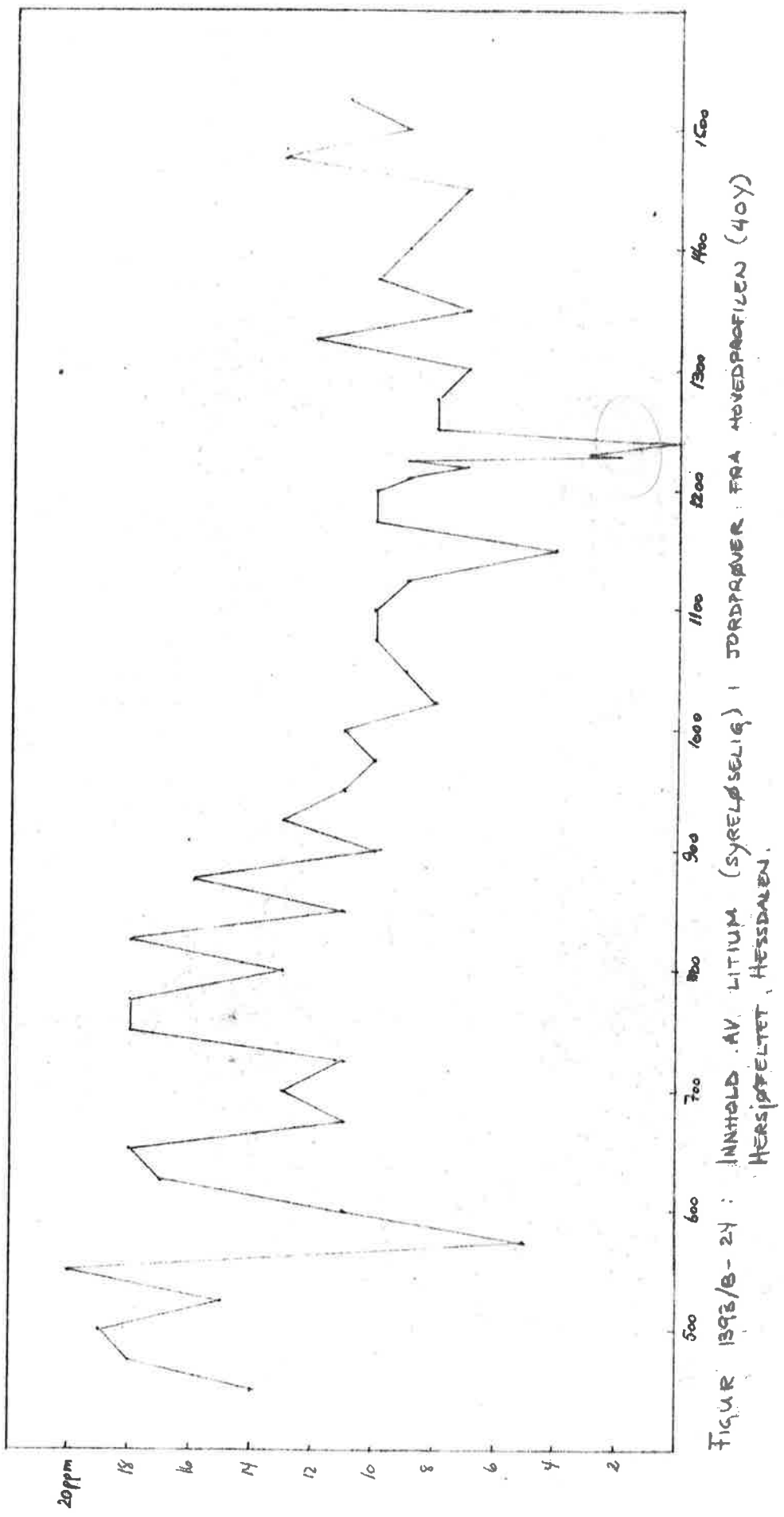
FIGUR 1393-20: FREKVENTSFÖRDELING AV SP
A) FREKVENTSFÖRDELING AV SP
B) NOISEPROFIL
DATAFRÄMDE

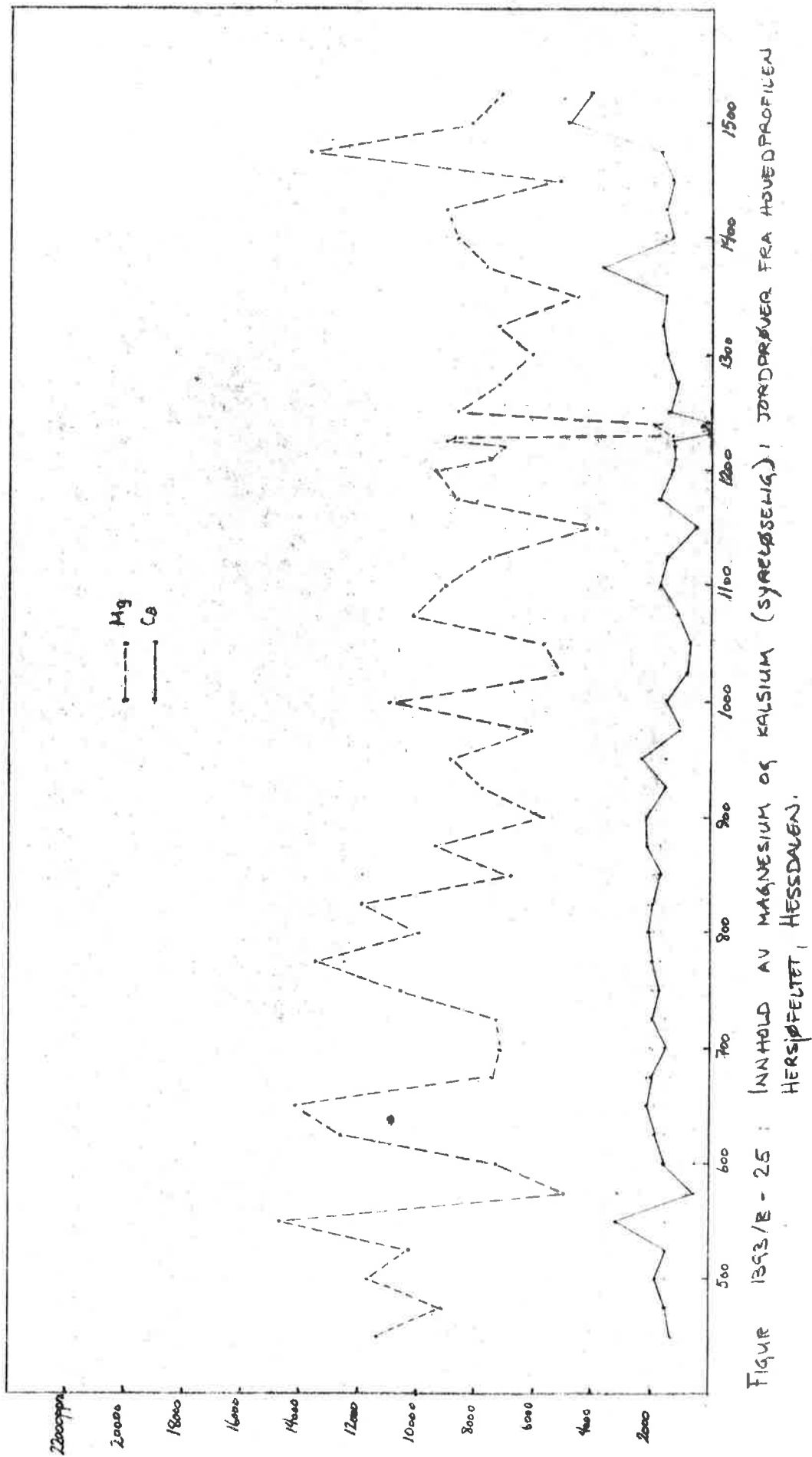


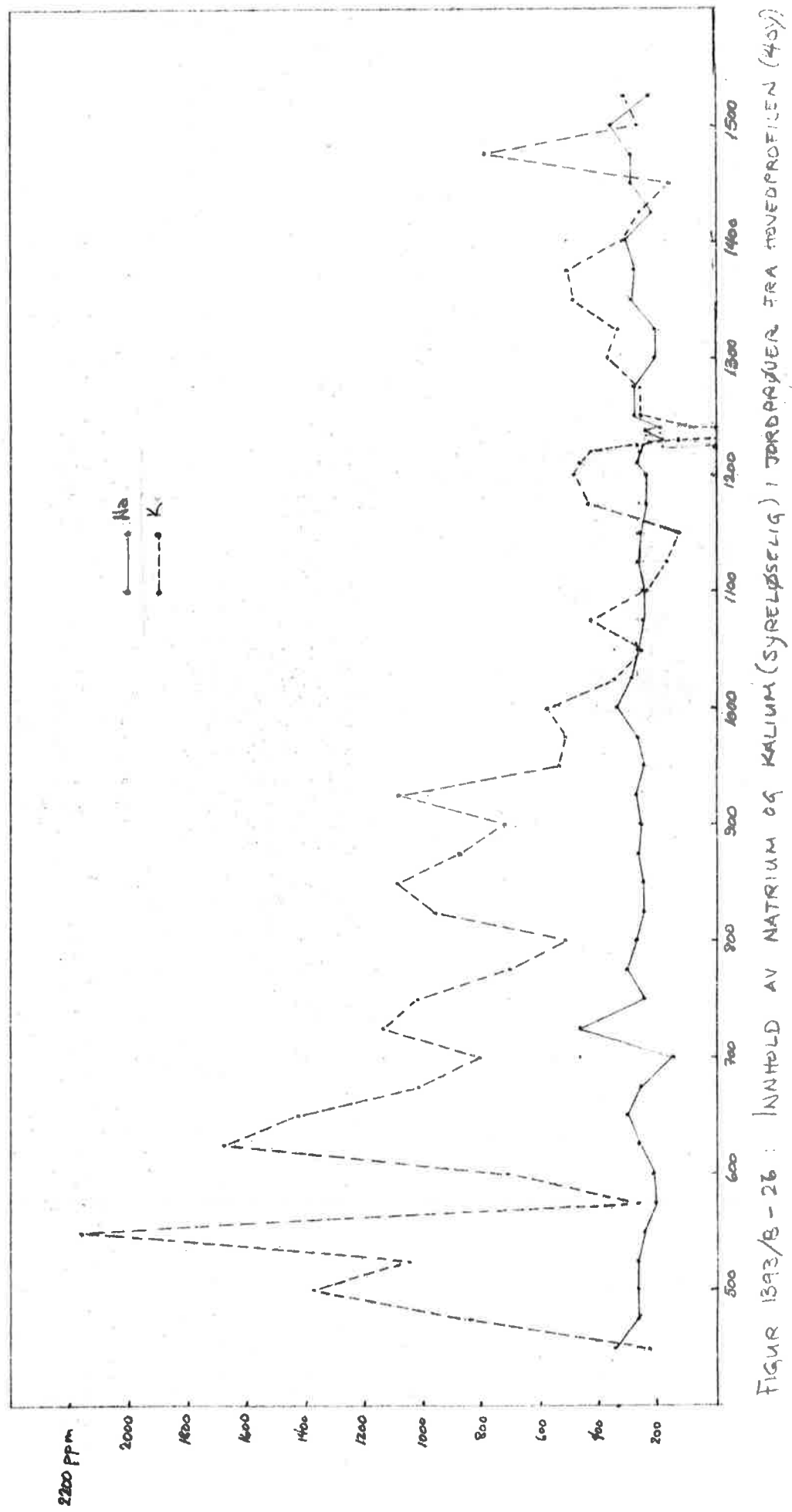




FIGUR 1393/B-23 : INNTRELD AV JORD AV JERN (SYREFOSSELIG) I JORDPROFILER FRA HØVEDPROFILEN (40) HERDLEFET, HESSDALEN.







FIGUR 1393/B-26 : INNHOLD AV NATRIUM OG KALIUM (SYRELØSING) I JORDLAGER TIL STENOPROFILEN (40%)
HERSIGFELDET, HESSDALEN

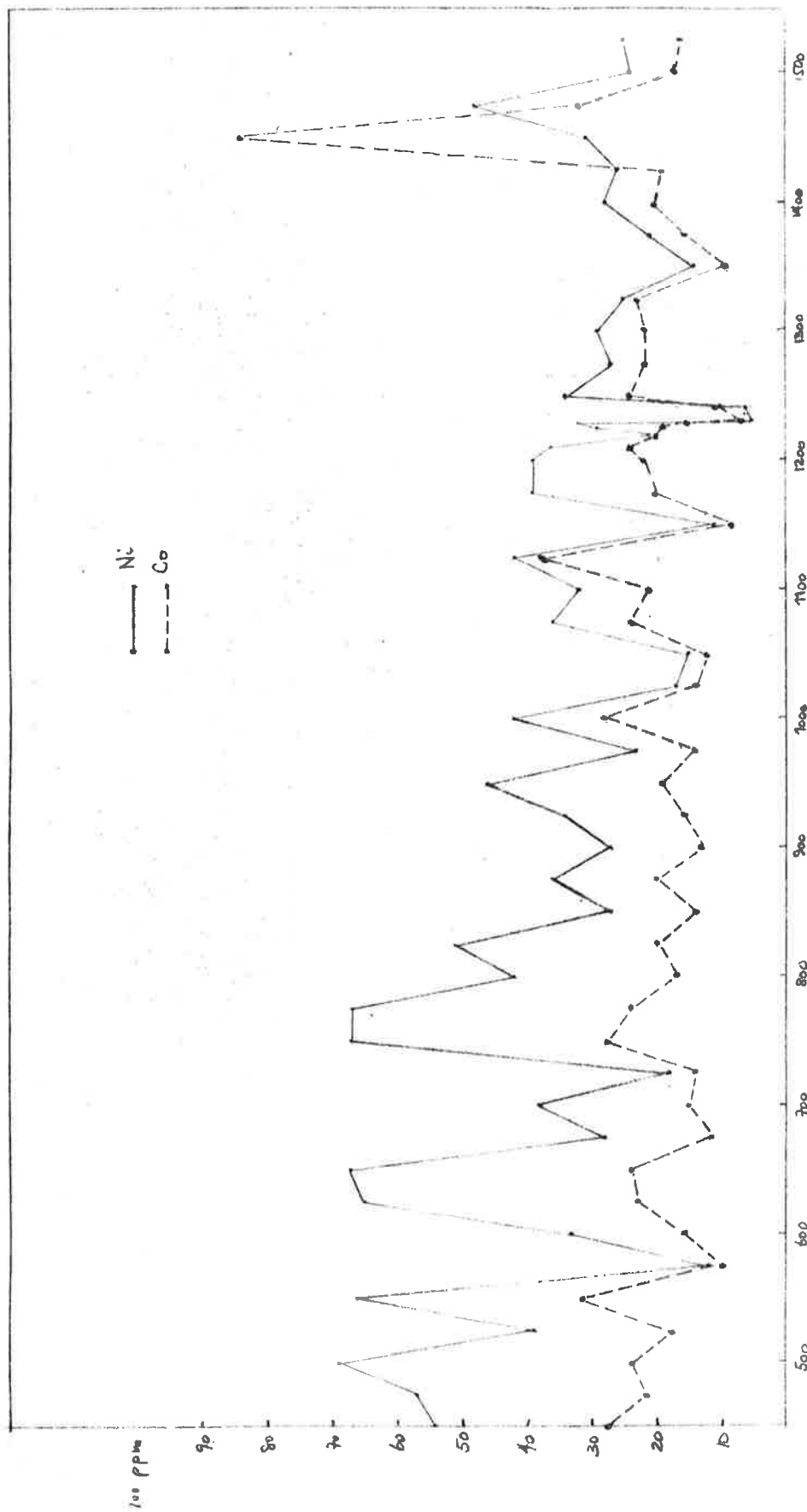
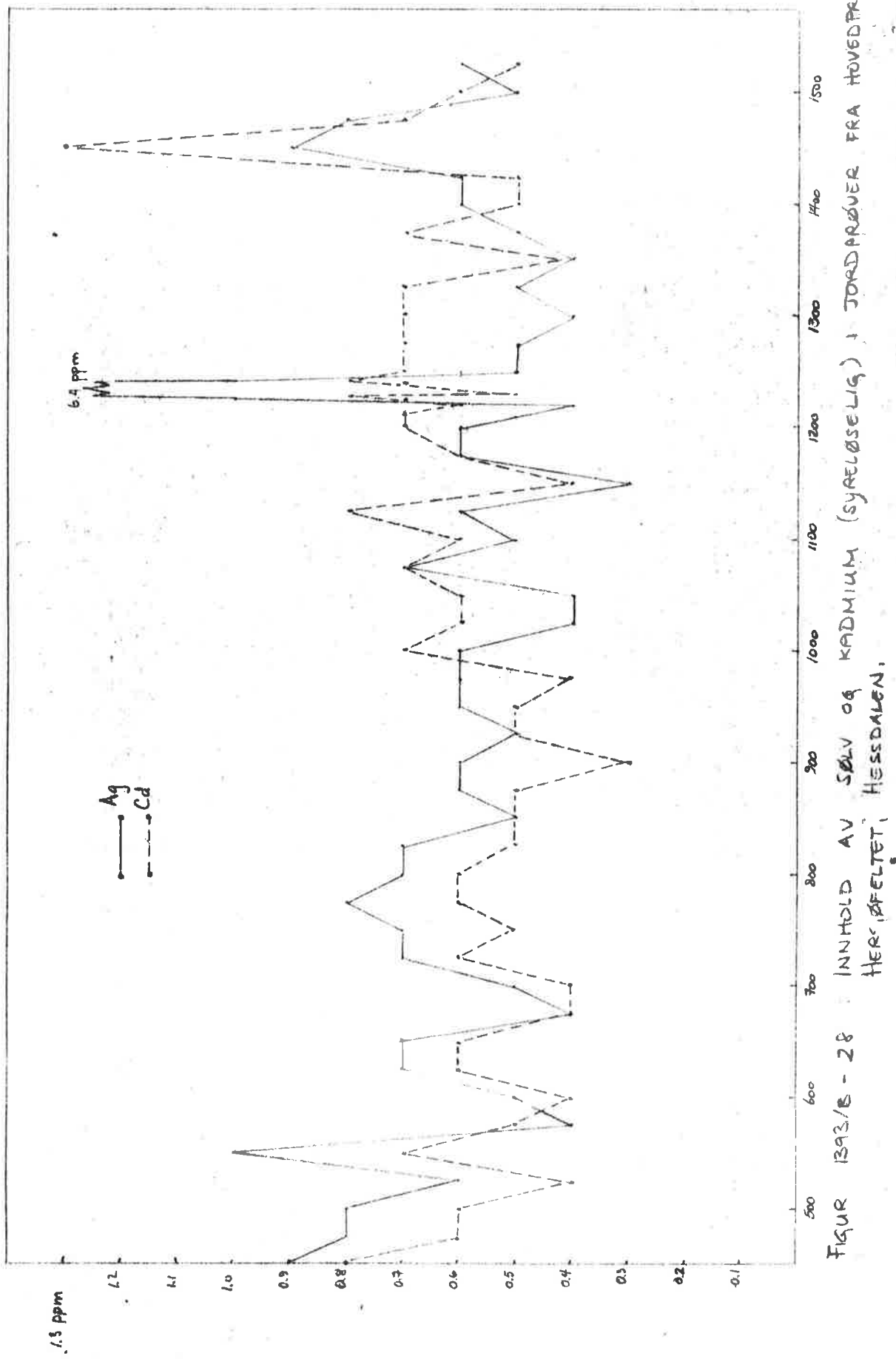


FIGURE 1393/B-27 INNHOLD AV NIKKEL OG KOBOLT (SYRELØSSEG) I JORDPERFER I RA HUVEDPROFILER (420)

HERSIGFELTET, HESSDALEN.



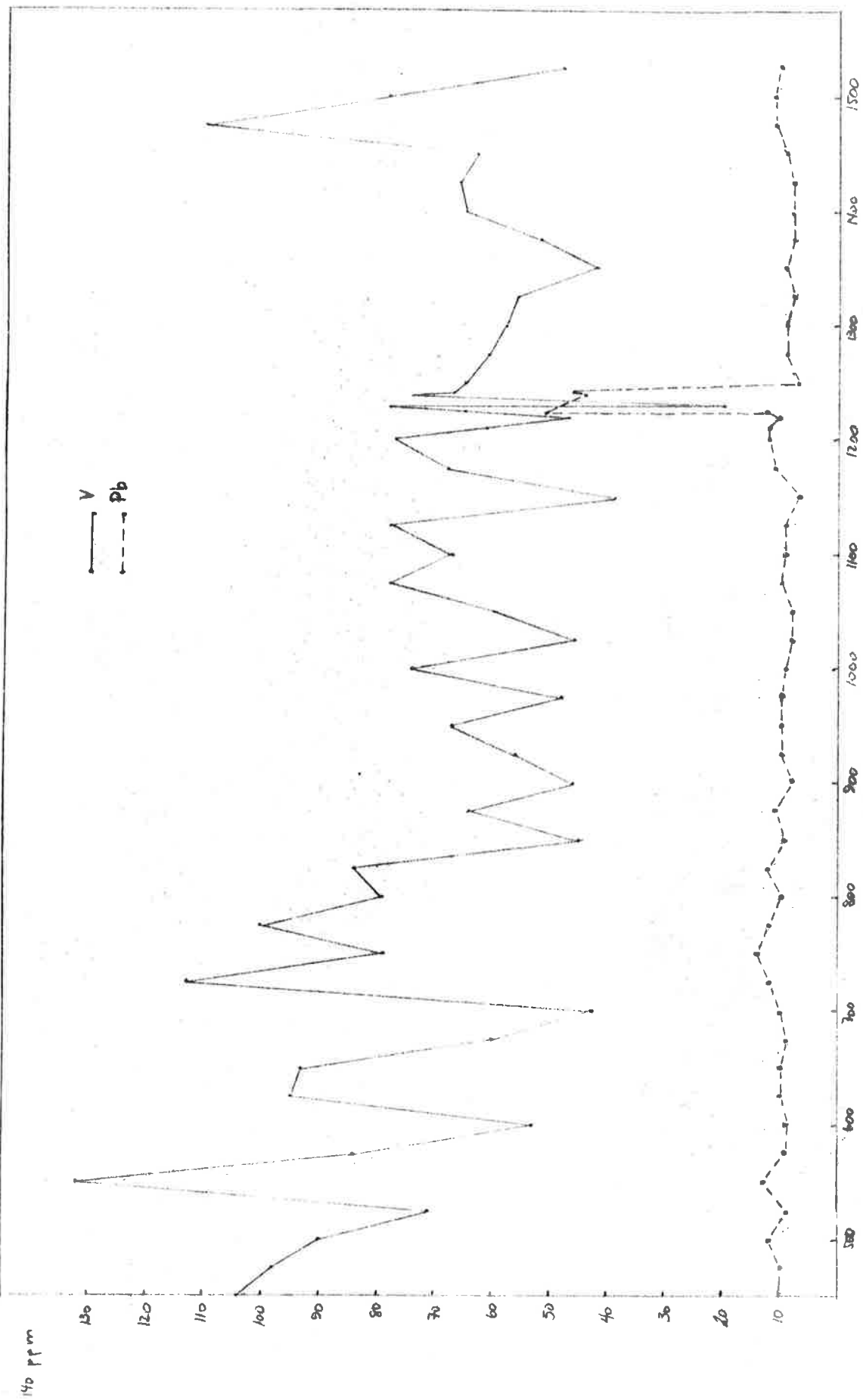
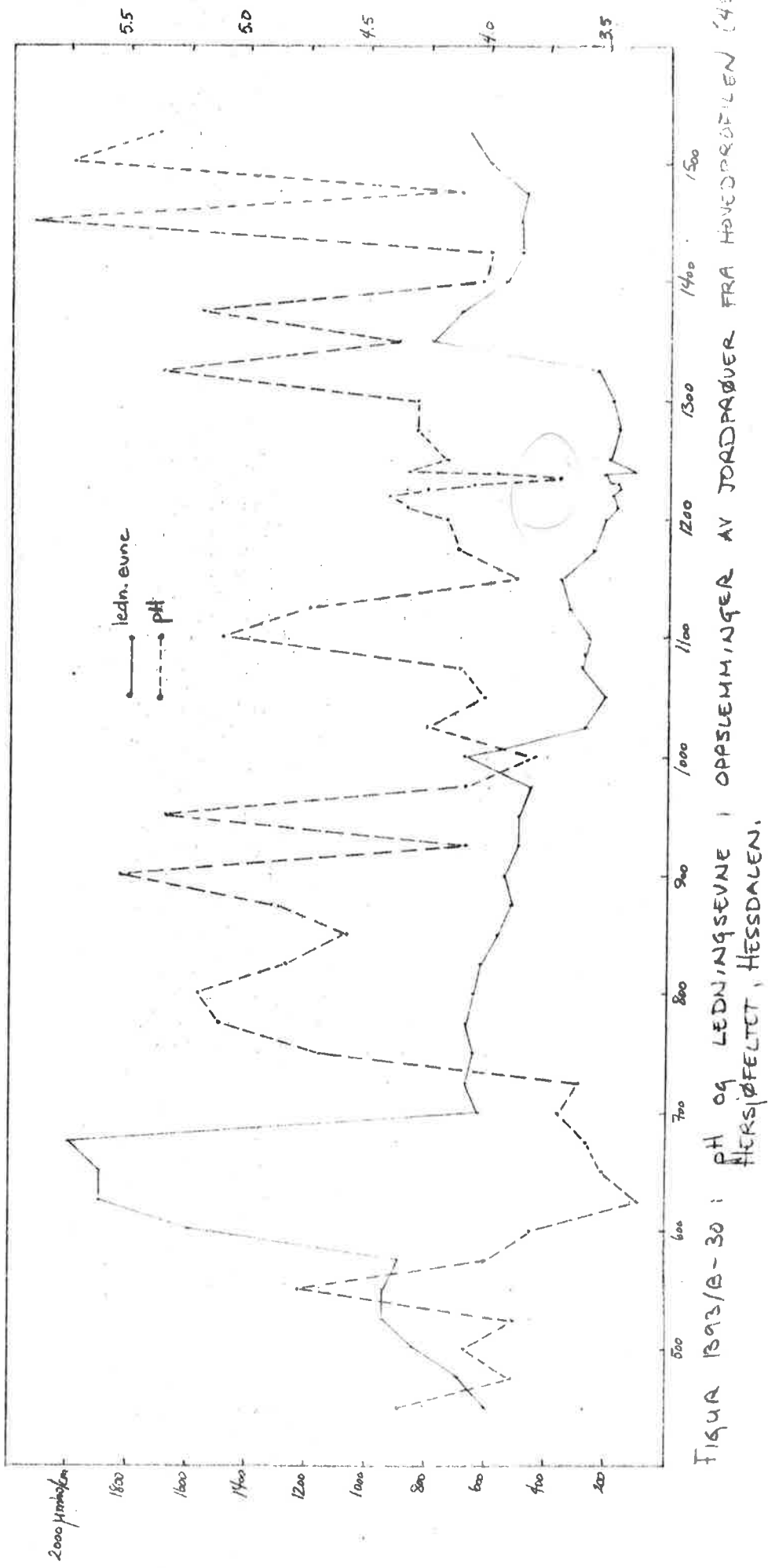
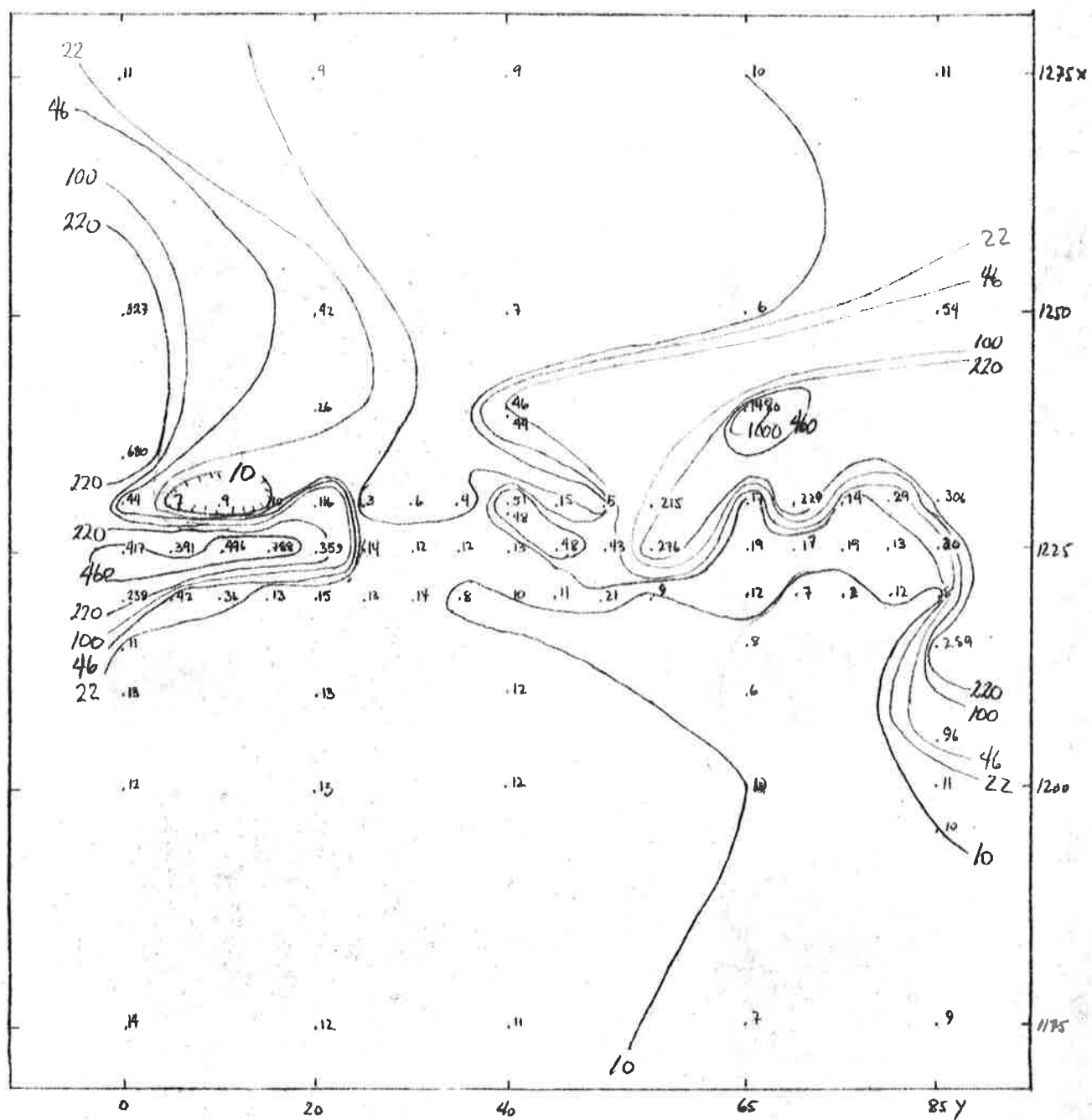
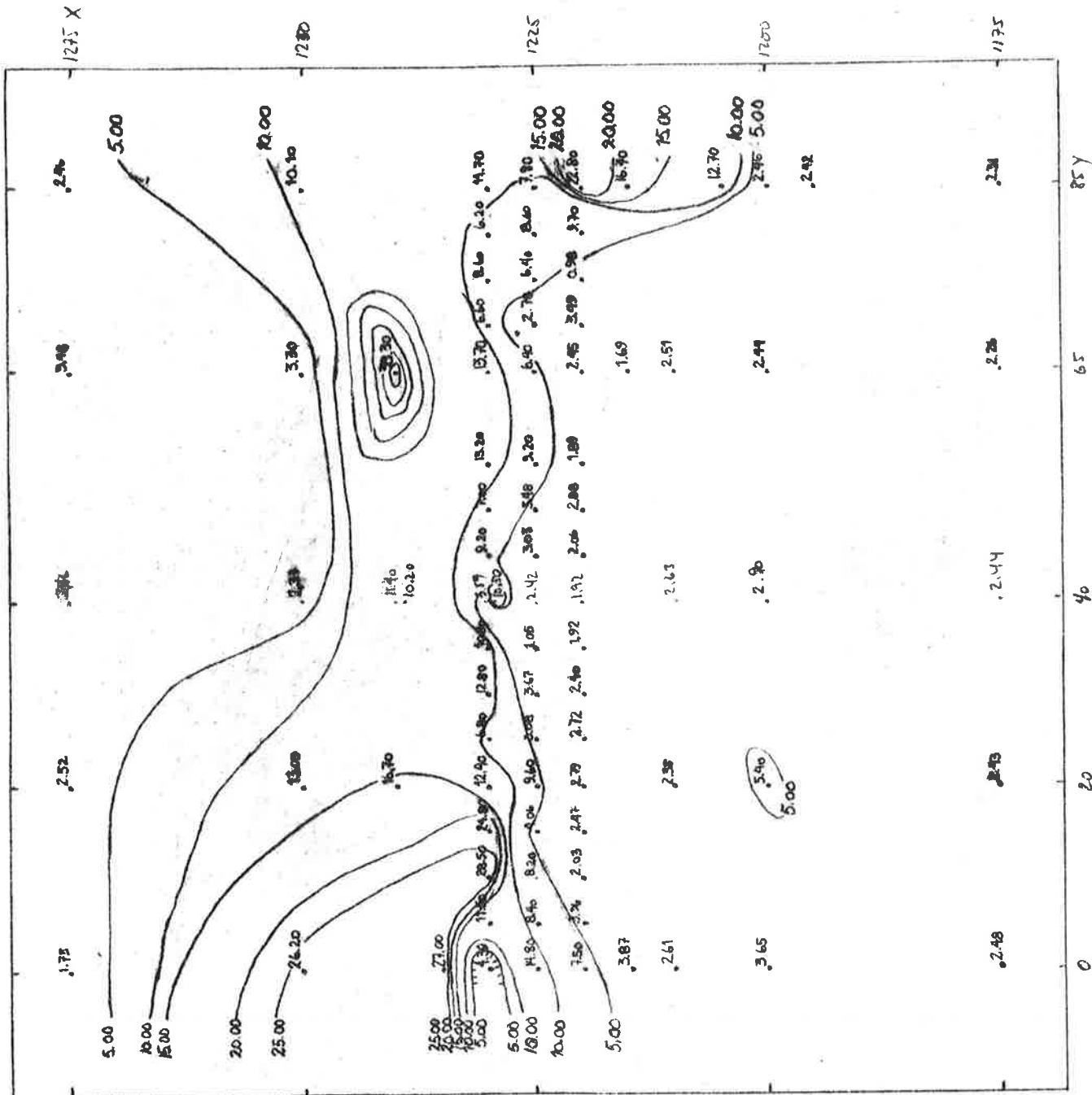


FIGURE 1893/B-29 : INNHOLD AV VANADIUM OG BLY (SYKKELESLIG) I JORDSPÅVERTRAT HINEDPROFILEN (40Y) HERSFELDT, HESSDALEN.

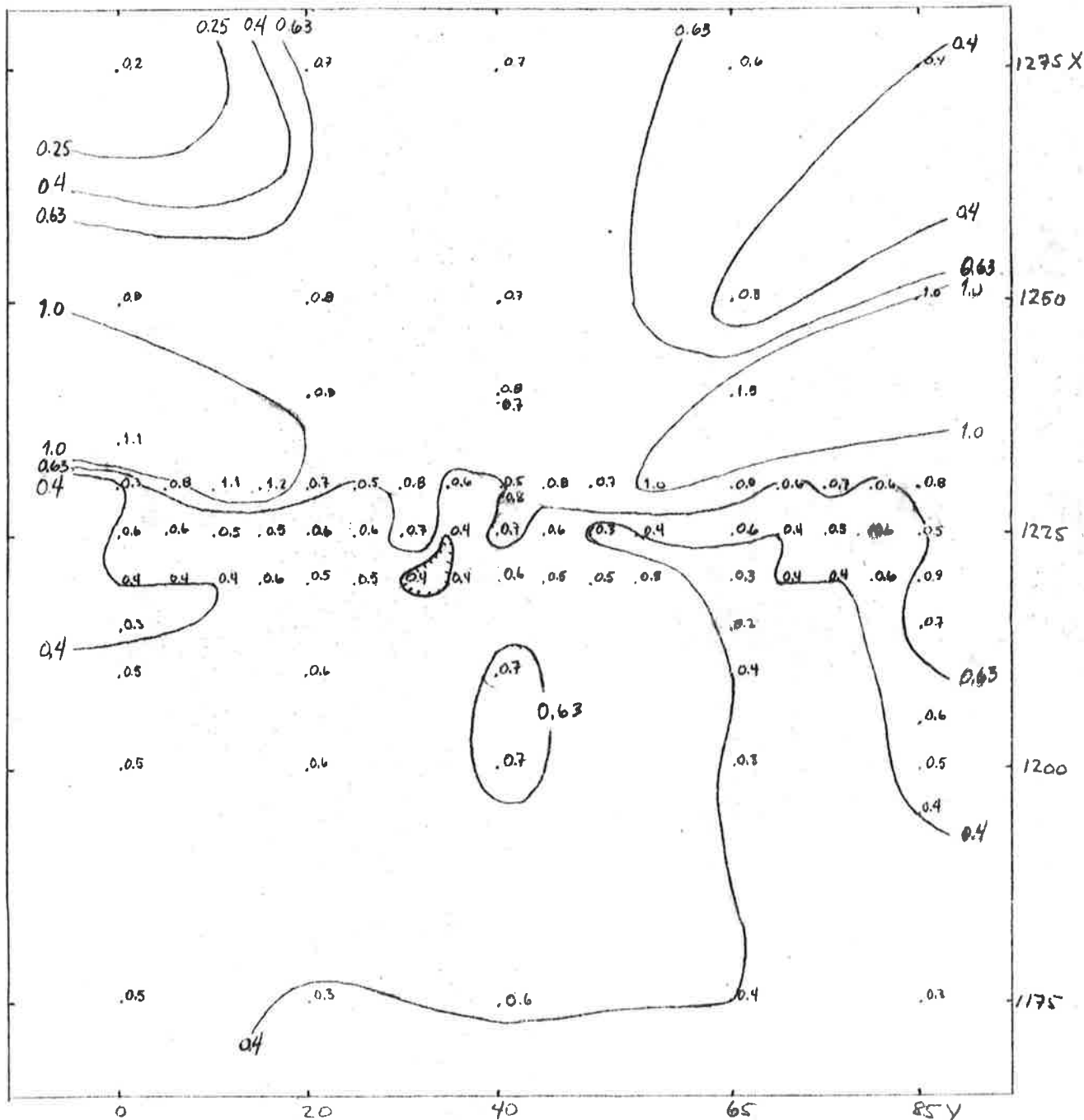




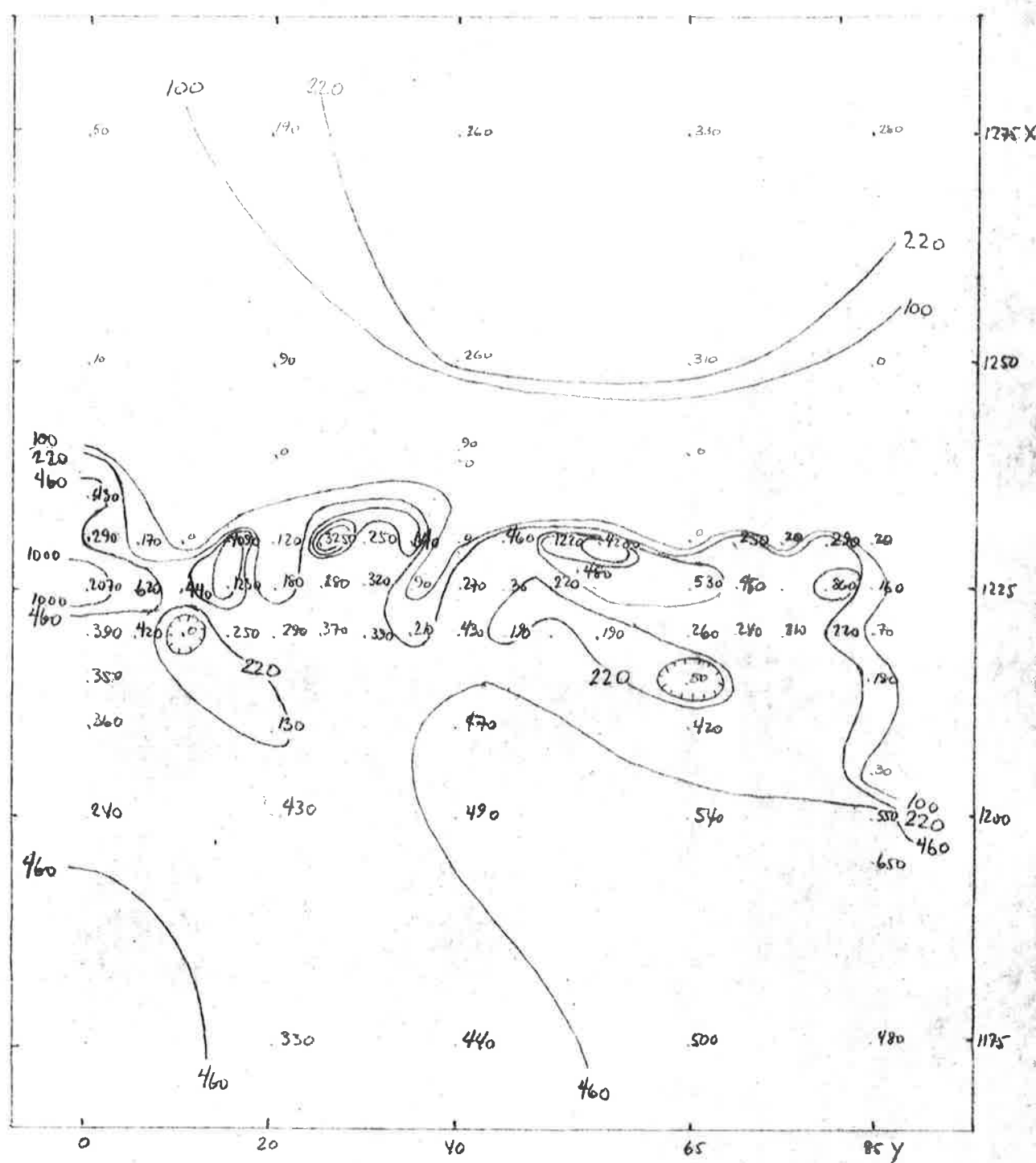
FIGUR 1393/B-31 : INNHOLD AV SYRELØSELIG BLY (ppm) I JORDPROVER FRA
OMRÅDET OMKRING UTGÅENDE AV A-FOREKOMSTEN,
HERSJØFELTET, HESSDALEN.



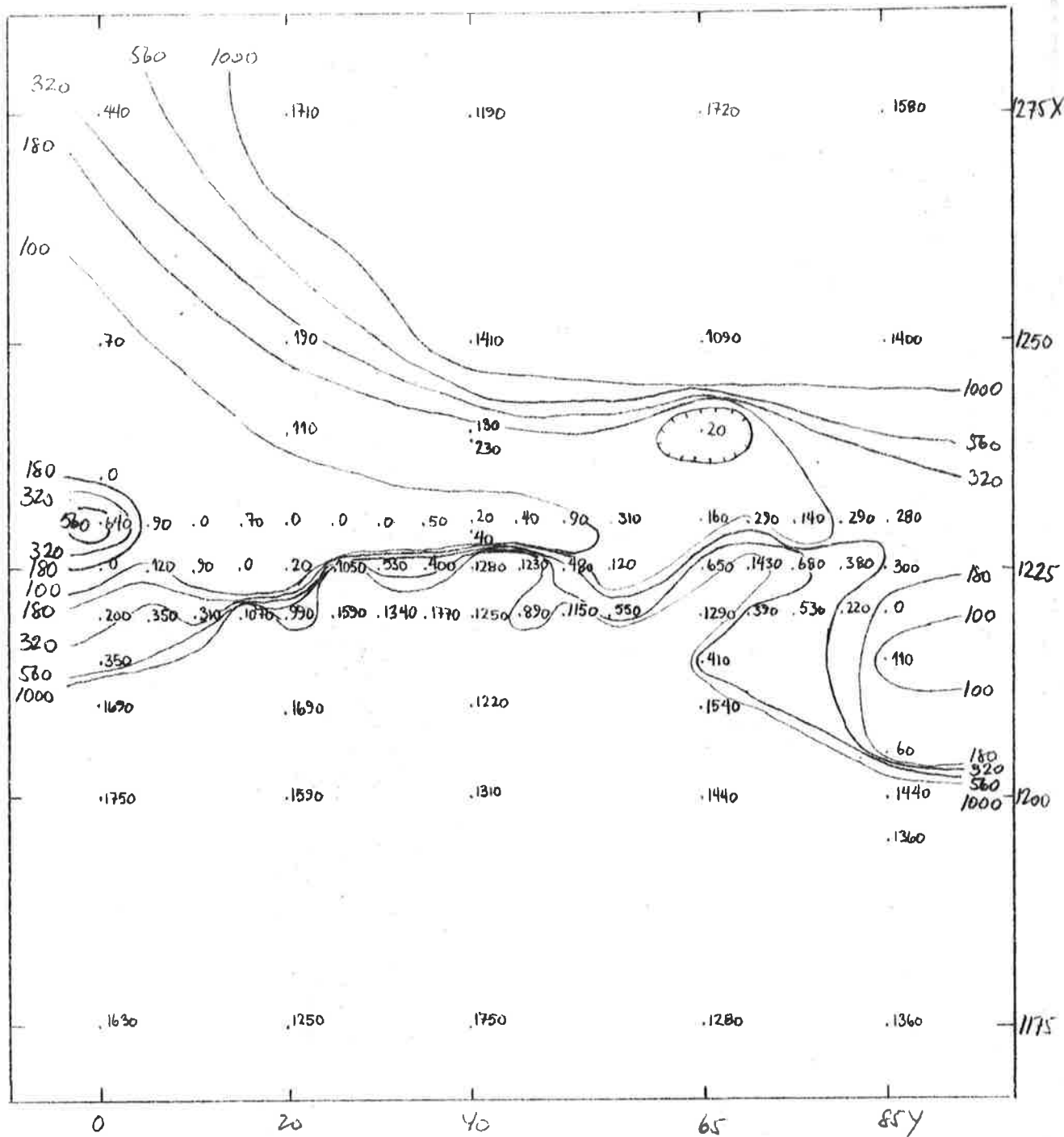
FIGUR 1393/B-32 : INNHOLD AV SYRELØSelig JERN (%) I JORDPRØVER FRA
OMRÅDET OMKRING UTGÅENDE AV A-FOREKOMSTEN,
HESSEFELTER, HESSDALEN



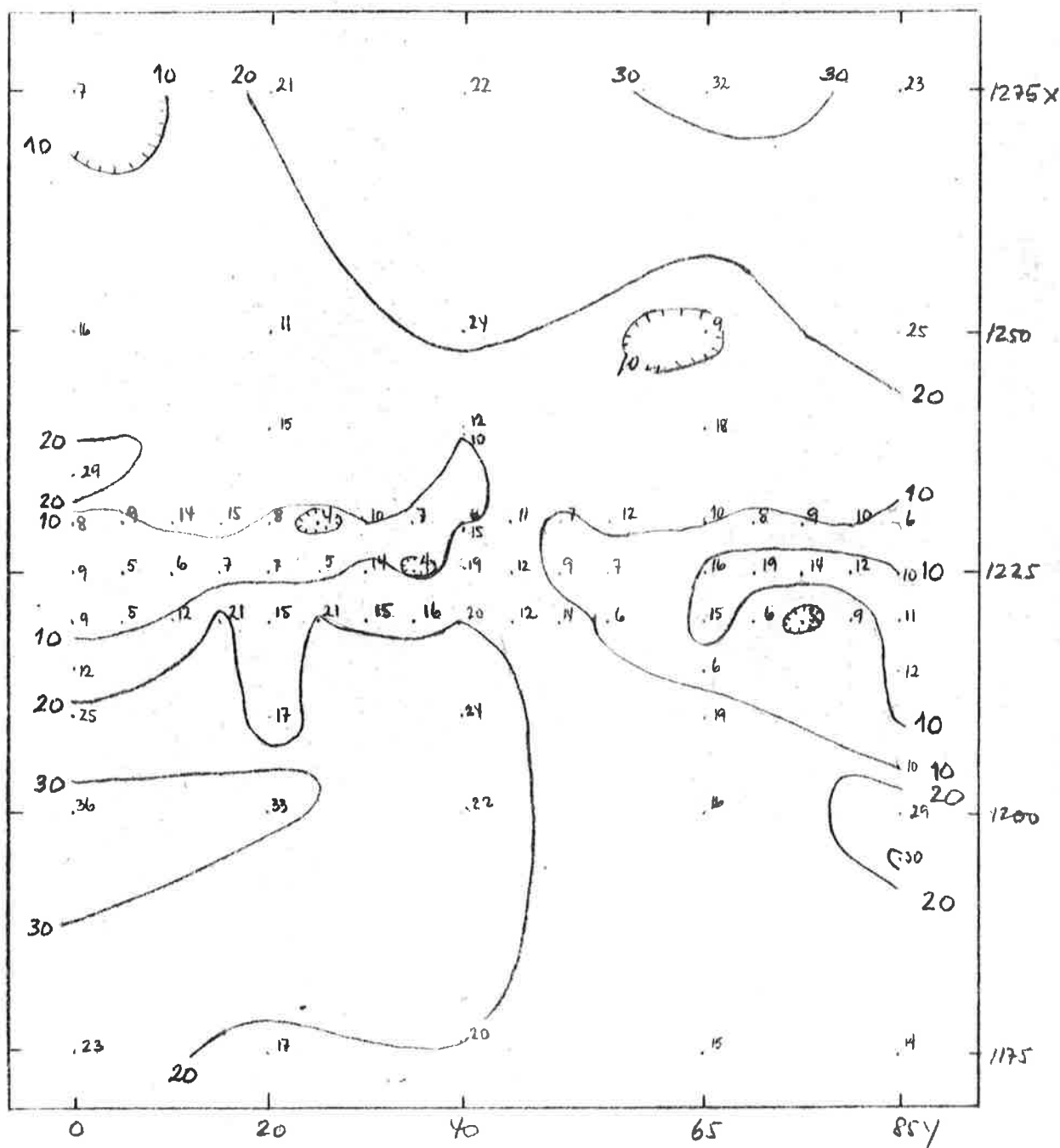
FIGUR 1393/B-33: INNHOLD AV SYRELØSELIG KADMIUML I JORDPRØVER
FRA OMråDET OMKRING UTGÅENDE AV A-FOREKOMSTEN.
HERSJØFELTET, HESSDALEN.



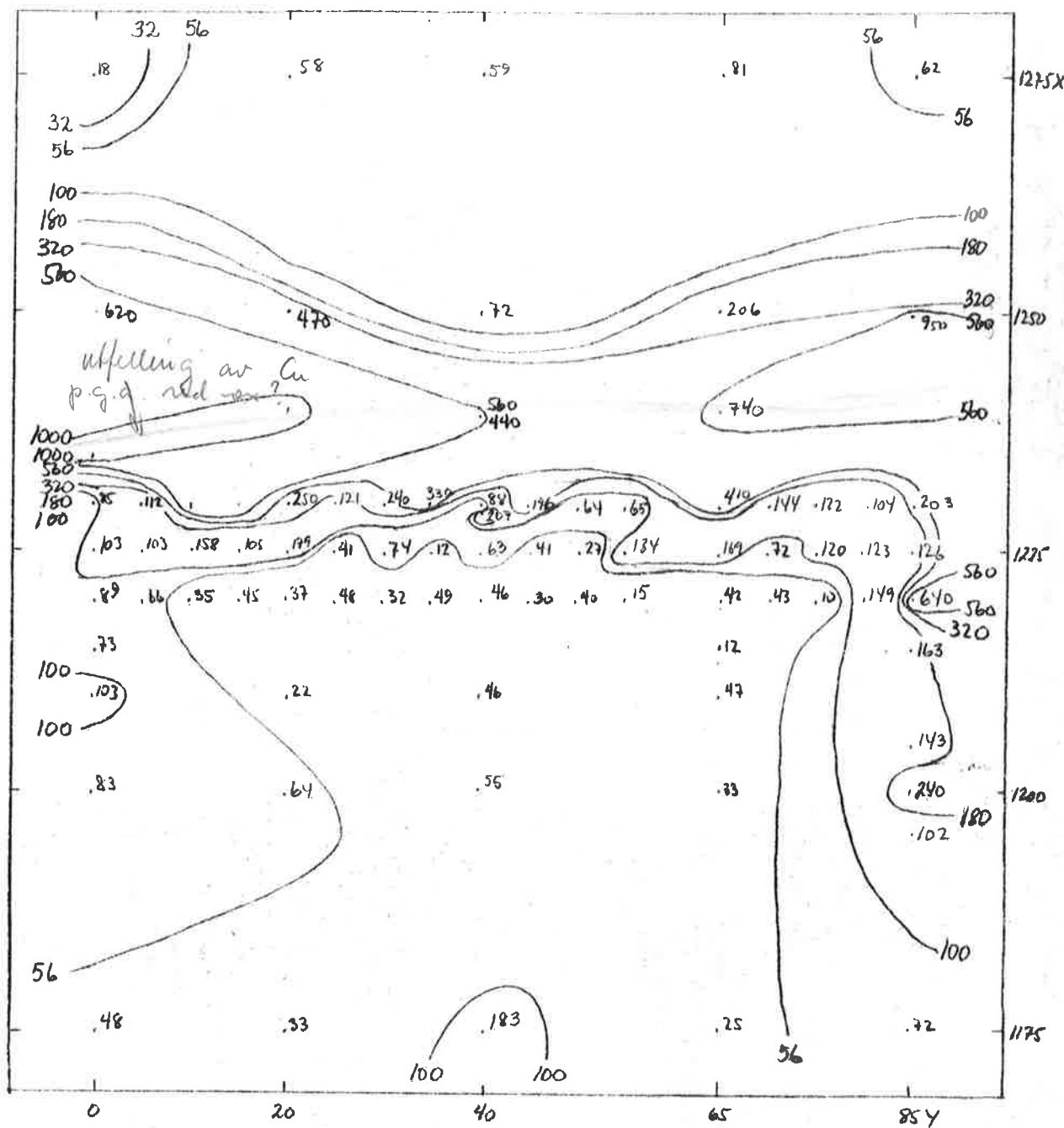
FIGUR 1393/B-34 : INNHOLD AV SYRELØSELIG KALIUM (ppm) I JORDPRØVER FRA
OMRÅDET OMKRING UTGÅENDE AV A-POREKOMESTEN
HERSJØFELLET, HESSDALEN.



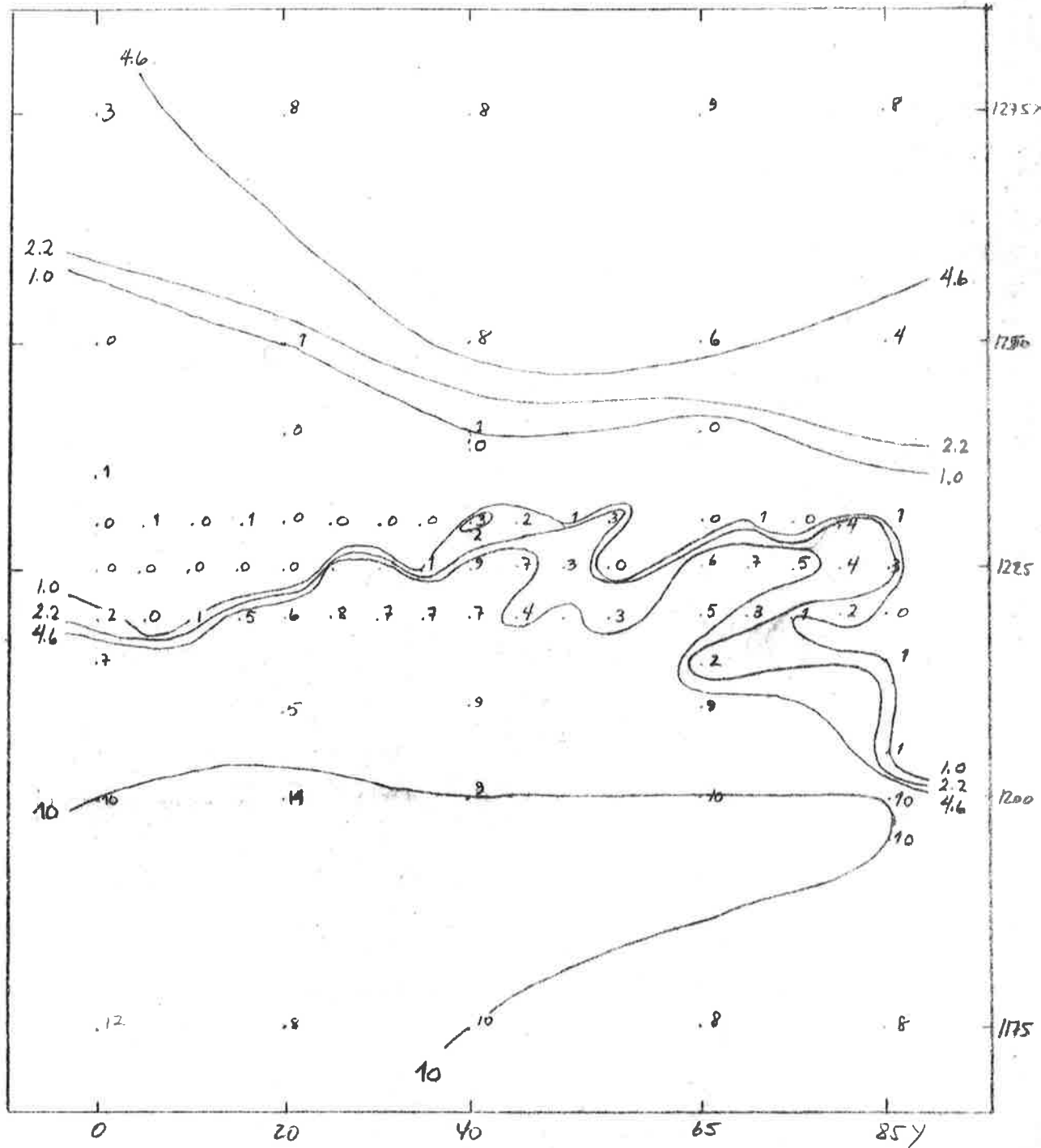
FIGUR 1393/B-35 : INNHOLD AV SYRELØSELIG KALSIUM (ppm) I JORDPRØVER FRA OMråDET OMKRING UTGÅENDE AV A-FOREKOMSTEN HERSJØFELTTET, HESSDALEN.



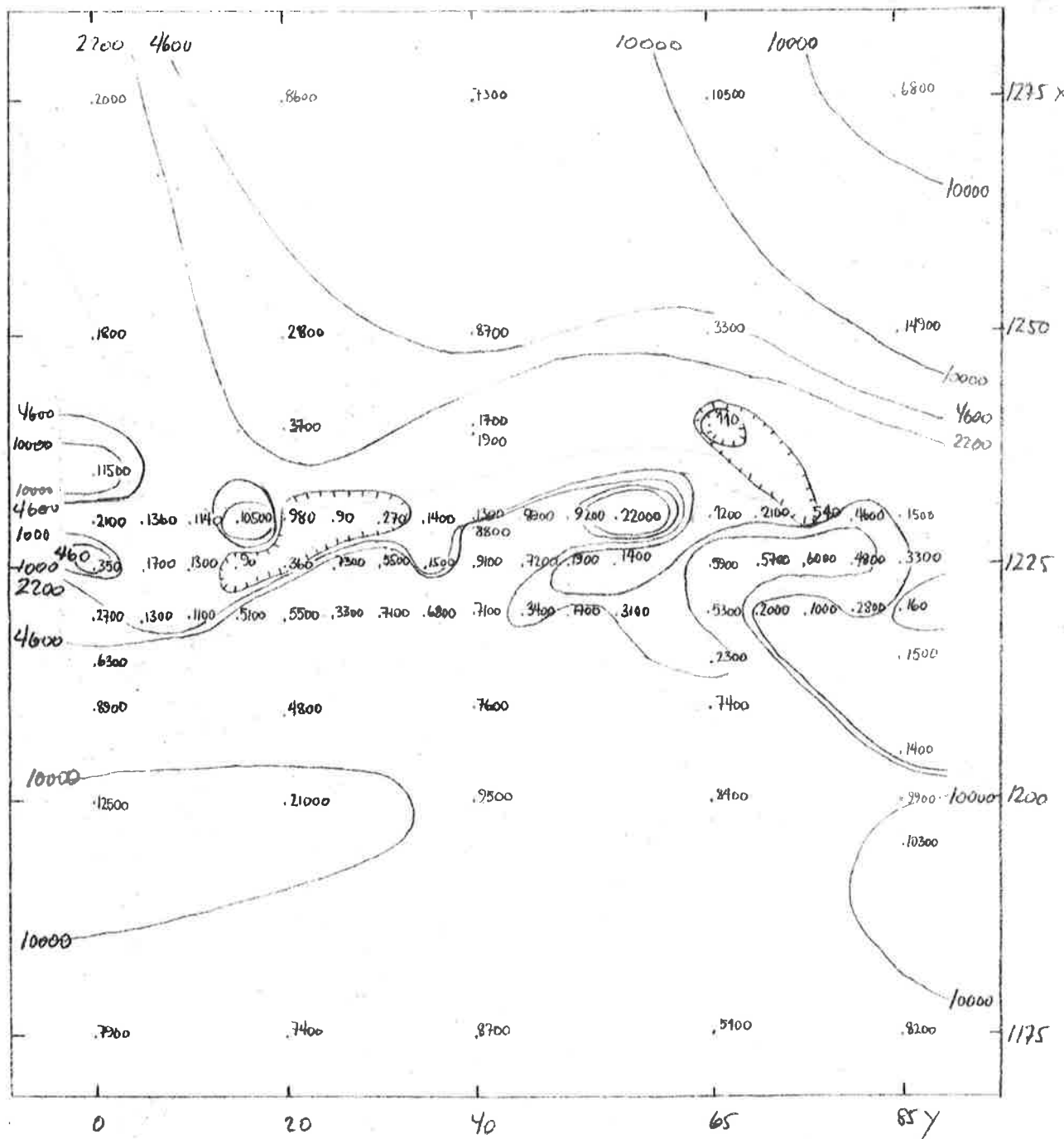
FIGUR 1393/B-36 : INNHOLD AV SYRELØSELIG KOBOLT (ppm) I JORDPRØVER
FRA OMråDET OMKRING UTGÅENDE AV A-FOREKOMSTEN,
HERSJØFELLET, HESSDALEN.



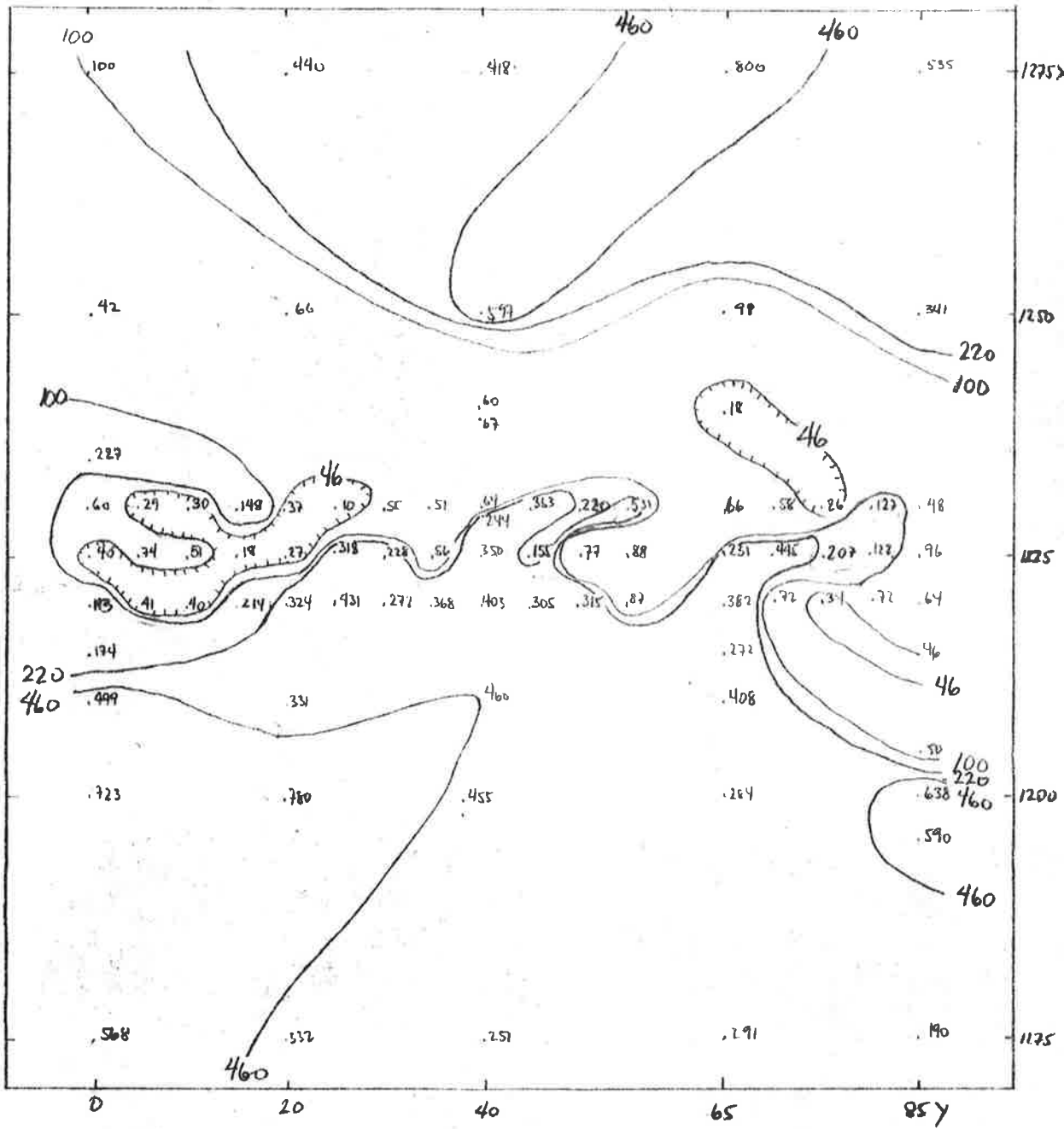
FIGUR 1893/B-37 : INNHOLD AV SYRELØSELIG KOBBER (ppm) I JORDPRØVER FRA
OMRÅDET OMKRING UTGÅENDE AV A-FOREKOMSTEN
HERSJØFELTET, HESSDALEN.



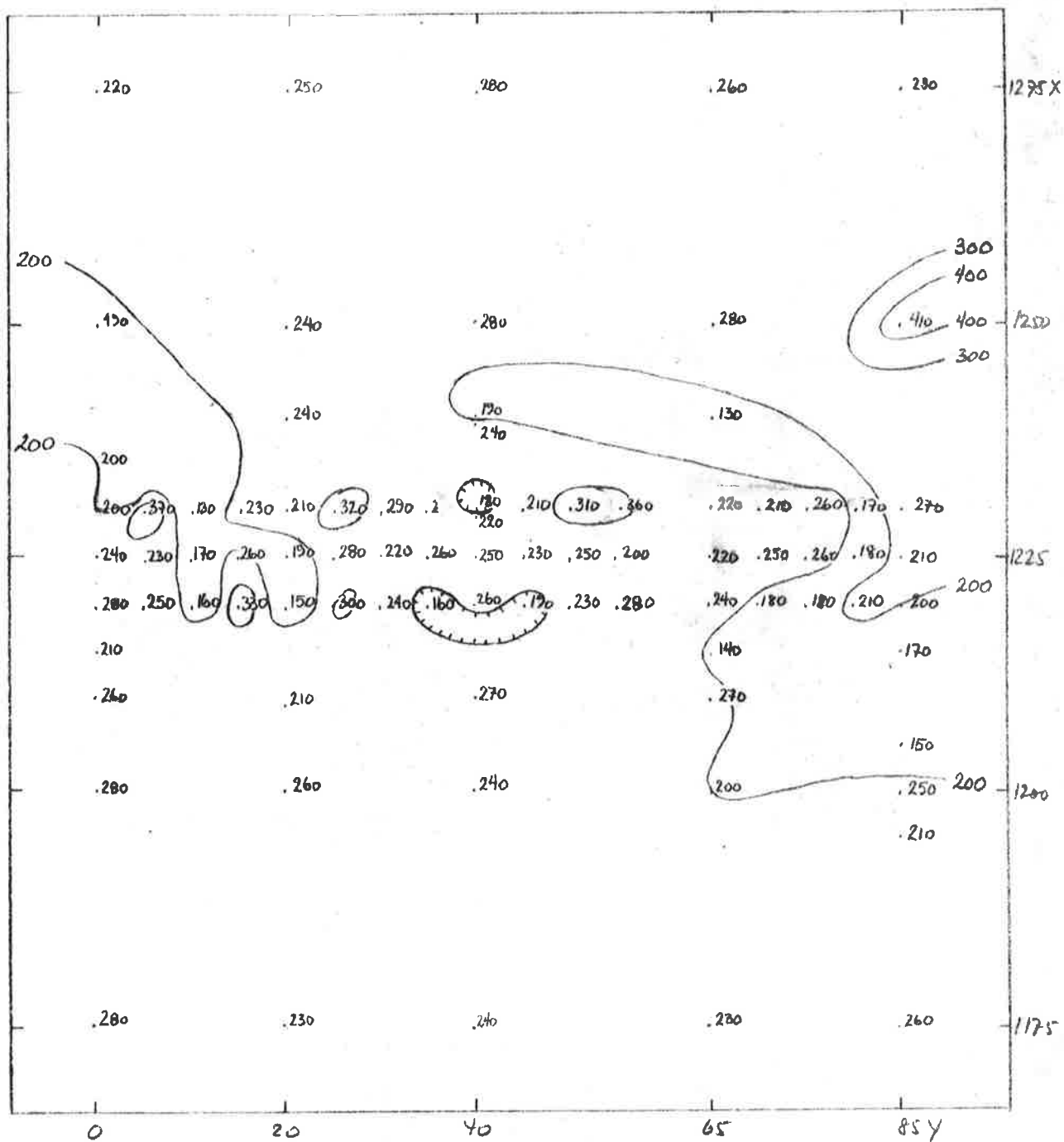
FIGUR 1393/B - 39 : INNHOLD AV SYRELØSELIG LITIUM (ppm) I JORDPRØVER FRA
OMRÅDET OMKRING UTGÅENDE AV A-FØREKOMSTEN.
HERSJØFELTET, HESSDALEN.



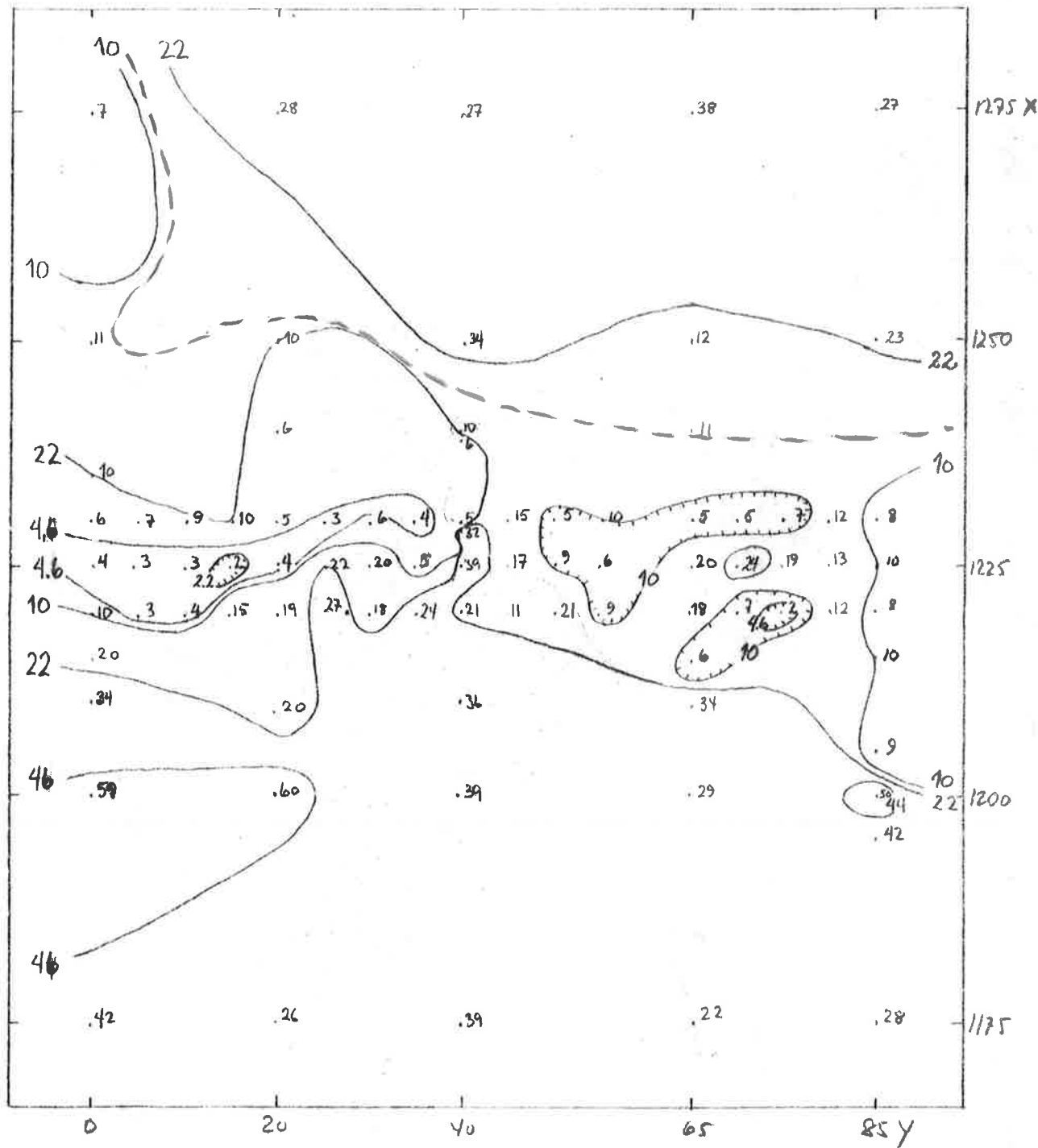
FIGUR 1393/B - 39 : INNHOLD AV SYRELØSELIG MAGNESIUM (ppm) I JORDPRØVER FRA OMråDET OMKRING UTGÅENDE AV A-FOREKOMSTEN, HERSEFELTET, HESSDALEN.



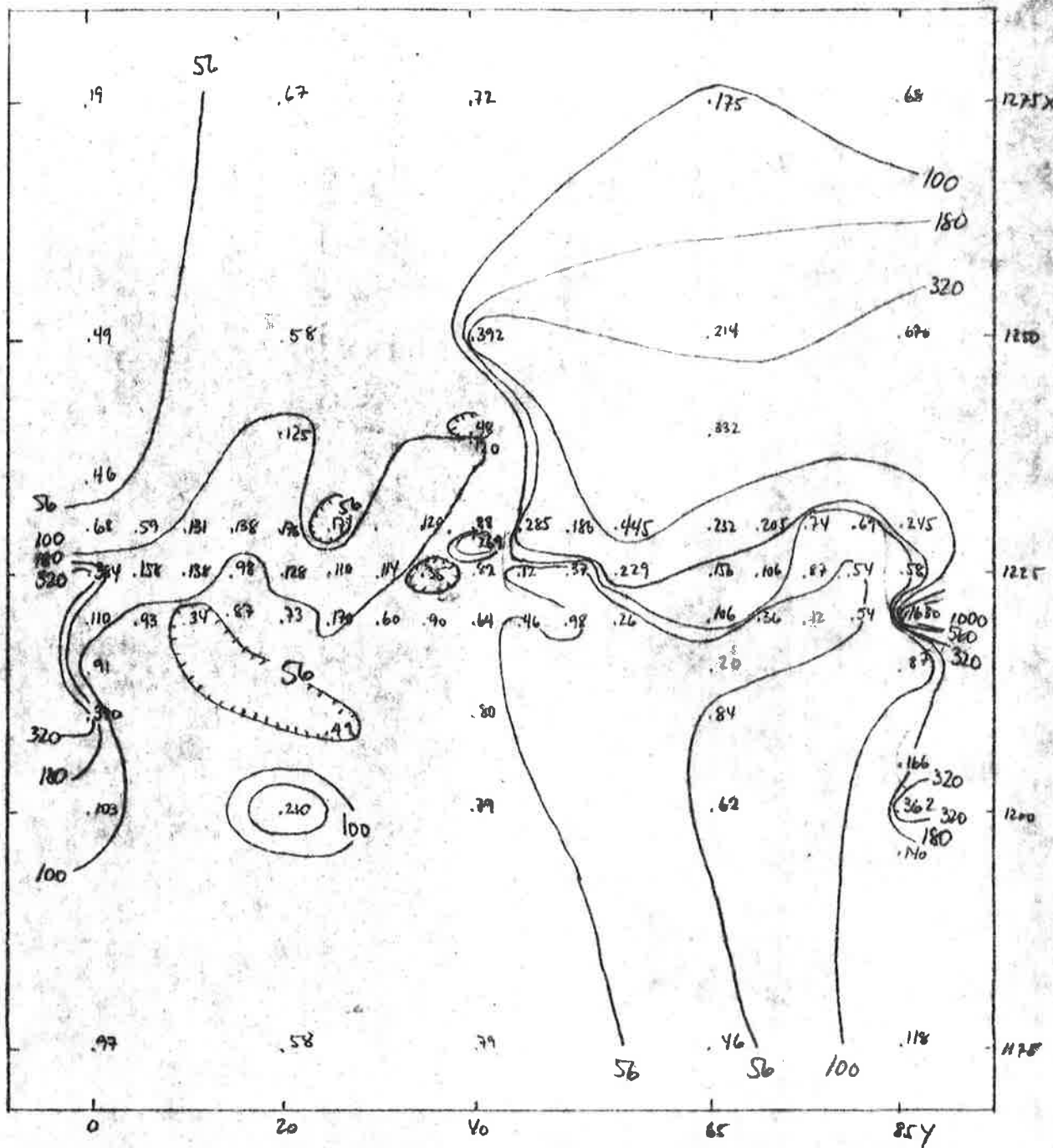
FIGUR 1393/B - 40 : INNHOLD AV SYRELØSELIG MANGAN (ppm) I JORDPRØVER FRA
OMRÅDET OMKRING UTGÅENDE AV A - FOREKOMSTEN,
HERSJØFELTET, HESSDALEN



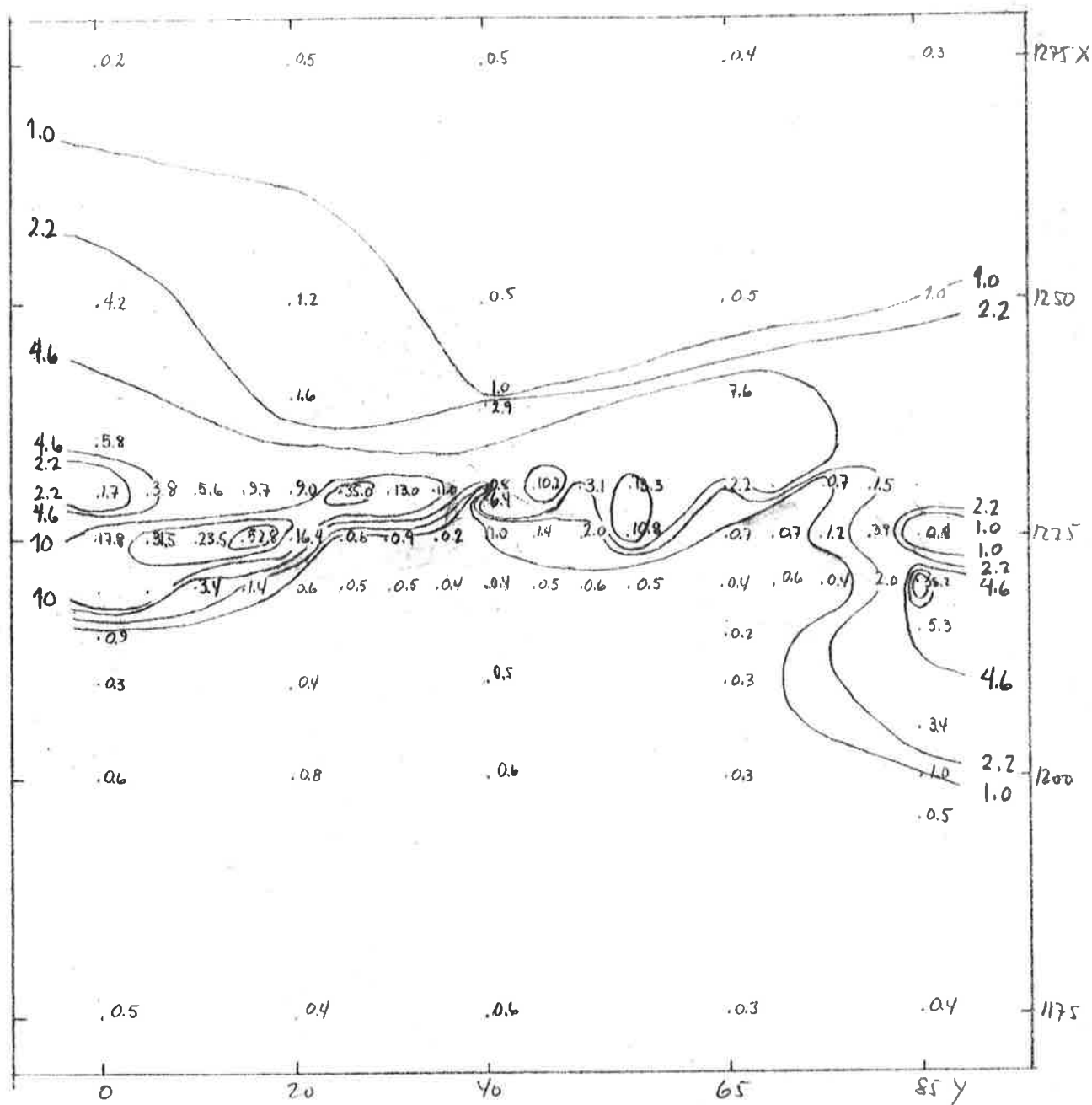
FIGUR 1393/A-41 : INNHOLD AV SYRELØSELIG Natrium (ppm) I JORDPRØVER
FRA OMråDET OMKRING UTGÅENDE AV A-FOREKOMSTEN
HERSJØFELLET, HESSEDALEN.



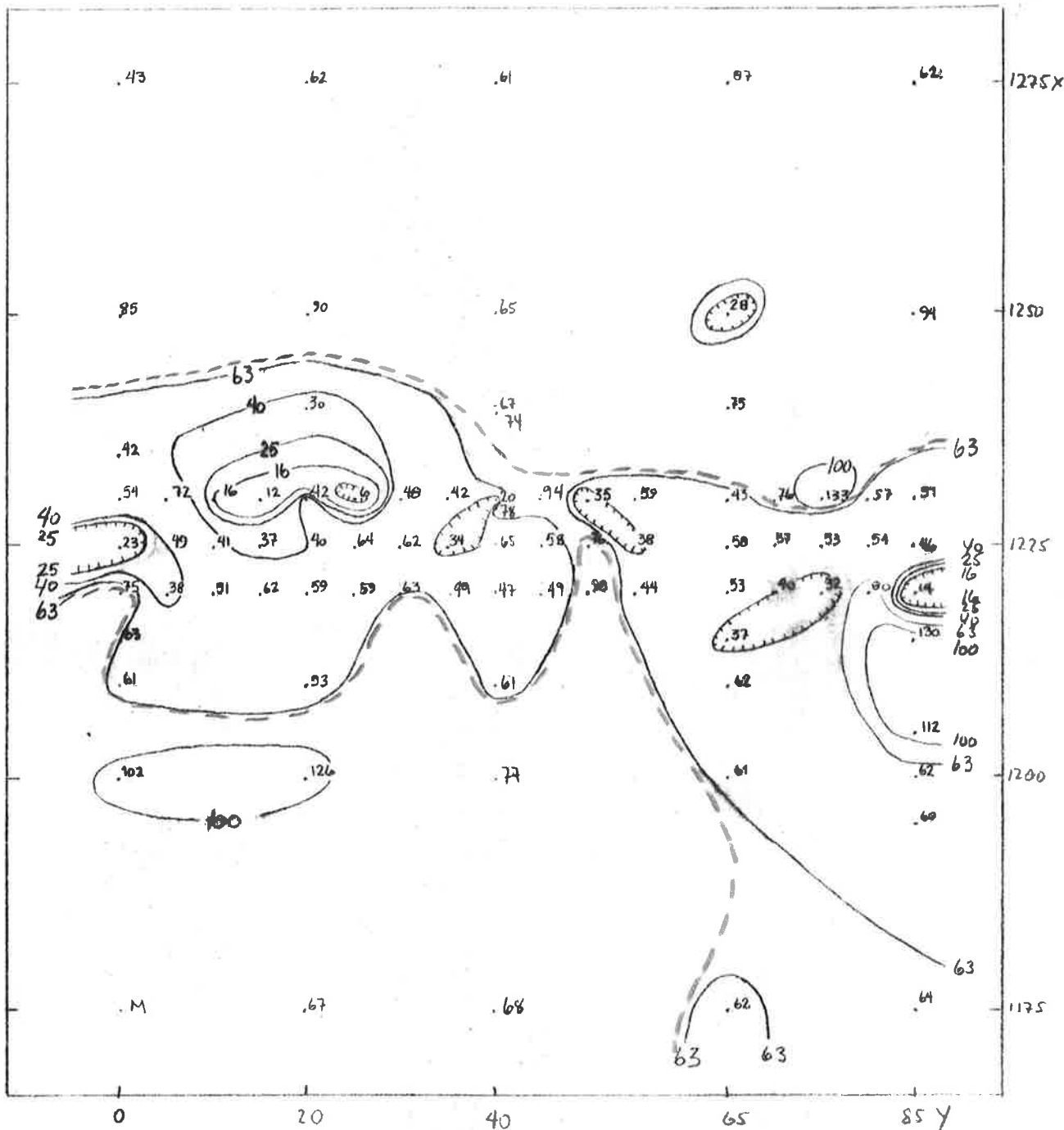
FIGUR 1393/B-42 : INNHOLD AV SYRELØSelig NIKKEL (ppm) I JORDPRØVER FRA OMråDET OMKRING UTGÅENDE AV A-FOREKOMSTEN HESDALALEN.



FIGUR 1393/B - 43 : INNHOLD AV SYRELØSELIG SINK (ppm) I JORDPRØVER
FRA OMråDET OMKRING UTGÅENDE AV A-POREKOMSTEN
HERSJØFELTET, HESSDALEN

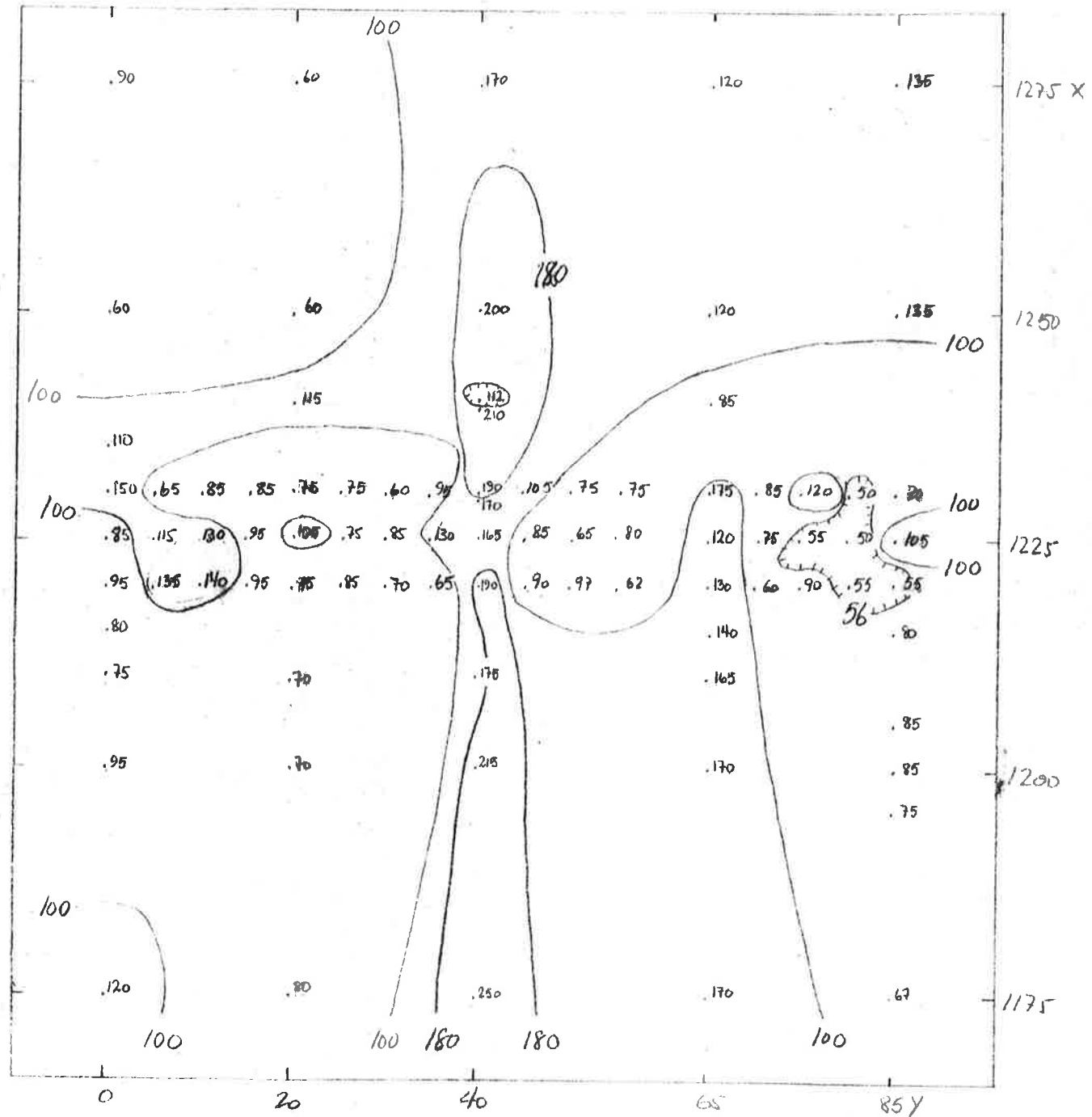


FIGUR 1393/B-44 : INNHOLD AV SYRECØSLIG SØLV (ppm) I JORDPRØVER FRA
OURÅDET OMKRING UTGÅENDE AV A-FOREKOMSTEN
HERSJØFELLET, HESDALENS.

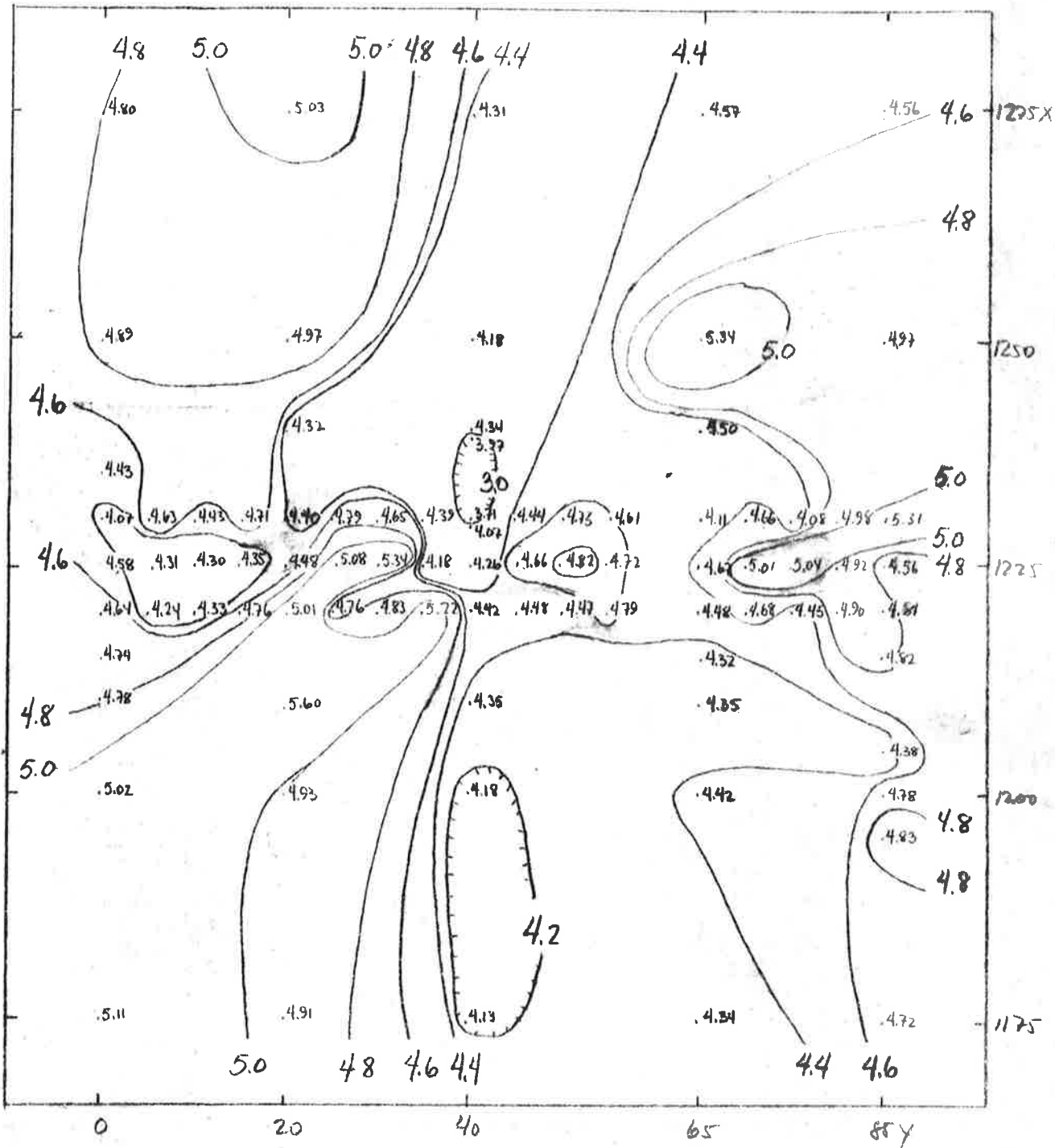


FIGUR 1393/B-45 : INNHOLD AV SYRELØSELIG VANADIUM (ppm) I JORDPRØVER
FRA OMråDET OMKRING UTGÅENDE AV A-FORKOMSTEN.
HERGJELLETET, HESSDALEN.

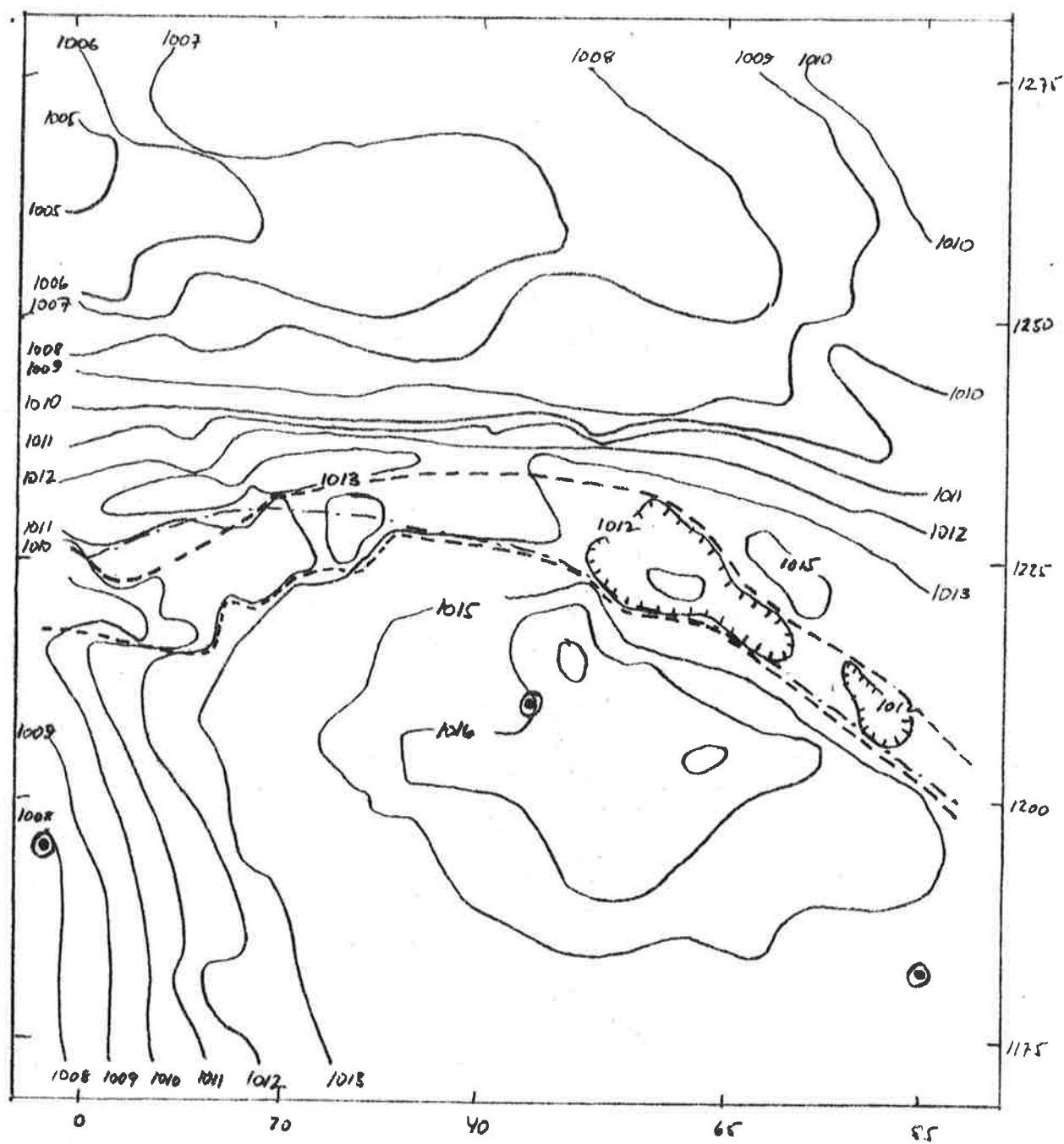
(M) : MANGLENDE ANALYSERESULTAT.



FIGUR 1393/B - 46 : LEDNINGSEVN (µmlo/km) I OPPSLEMMINGER AV JØRDPRYDUR
FRA OMråDET OMKRING UTGÅELSEN AV A-FOREKOMSTEN.
HERSJØFELLET, HESSDALEN.



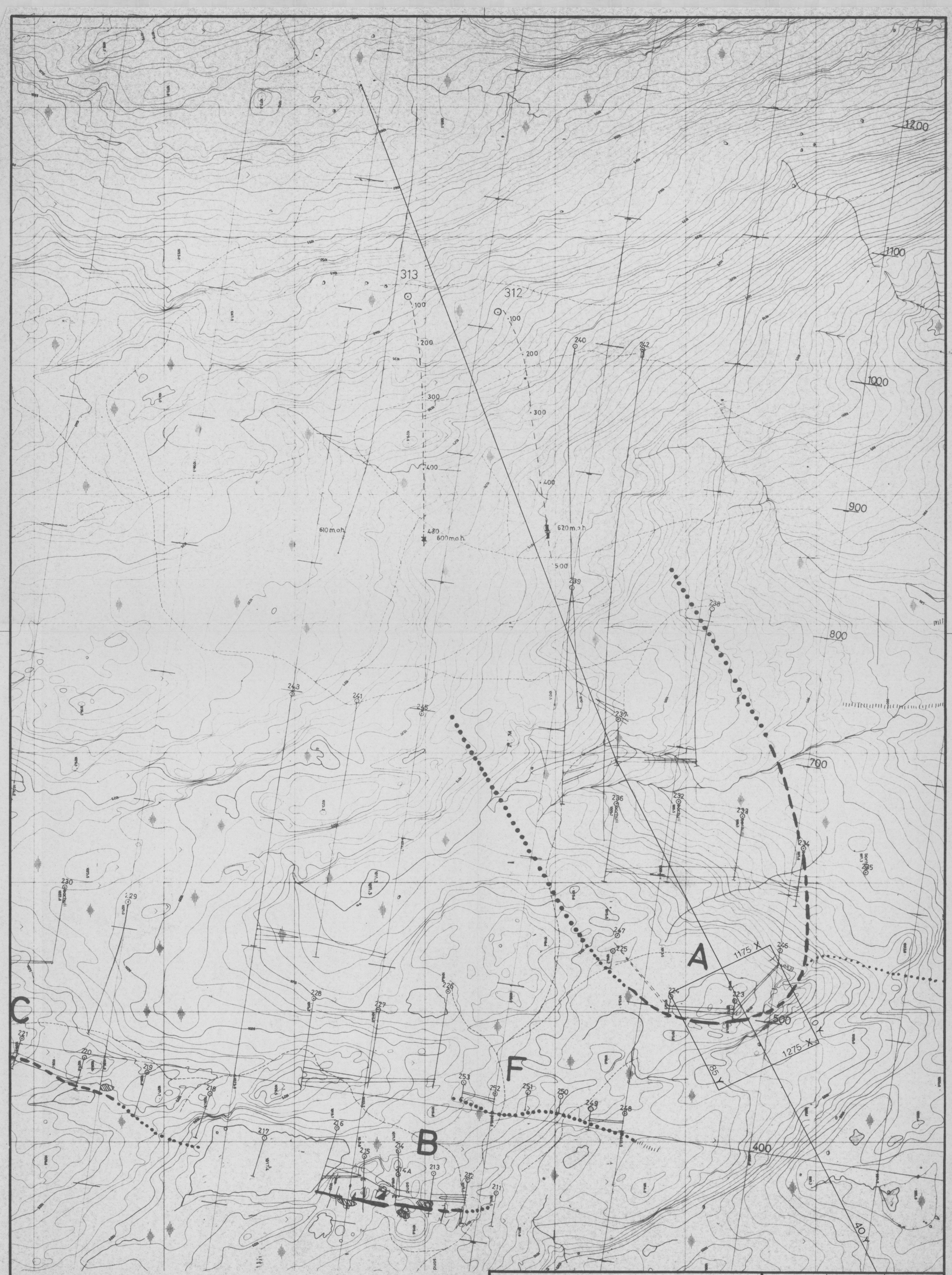
FIGUR 1393/B - 47 - pH I OPPSLEMMINGER AV JØRPÅDER FRA
OMRÅDET OMKRING UTEÅENDE AV A-FOREKOMSTEN.
(HERSJØFELLET, HESSDALE).



FIGUR 1393/B - 48 : TOPOGRAFISK KART OVER OMråDET OMKRING
UTGÅENDE AV A-FOREKOMSTEN, HERSJØFELLET,
HESSDALEN.

--- ELEKTRONMAGNETISK ANOMALI

---- GRANNE FOR TOPOGRAFISK FORSENKNING OVER
FOREKOMSTENS UTGÅENDE.



HERSJØ , A-forekomst

ÅLEN , SÖR -TRÖNDELAG

MALESTOKK

Obs . HH JE
Tegn OG LN
Trac HH

1: 2000

NORGES GEOLISKE UNDERSØKELSE
TRONDHEIM

TEGNING NR
1393/B-49